МИНИСТЕРСТВО ОБРАЗОВАНИЯ И НАУКИ РЕСПУБЛИКИ КАЗАХСТАН КАЗАХСКИЙ НАЦИОНАЛЬНЫЙ ИССЛЕДОВАТЕЛЬСКИЙ ТЕХНИЧЕСКИЙ УНИВЕРСИТЕТ имени К.И.САТПАЕВА

Институт геологии и нефтегазового дела имени К. Турысова Кафедра: Геофизика

Комплексная интерпретация материалов ГИС

для специальности 7М07105 «Нефтегазовая и рудная геофизика»

Истекова С.А., докт. геол.-минерал. наук, проф. каф.

АЛМАТЫ 2021





ЯДЕРНО-МАГНИТНЫЙ КАРОТАЖ

Лекция 9

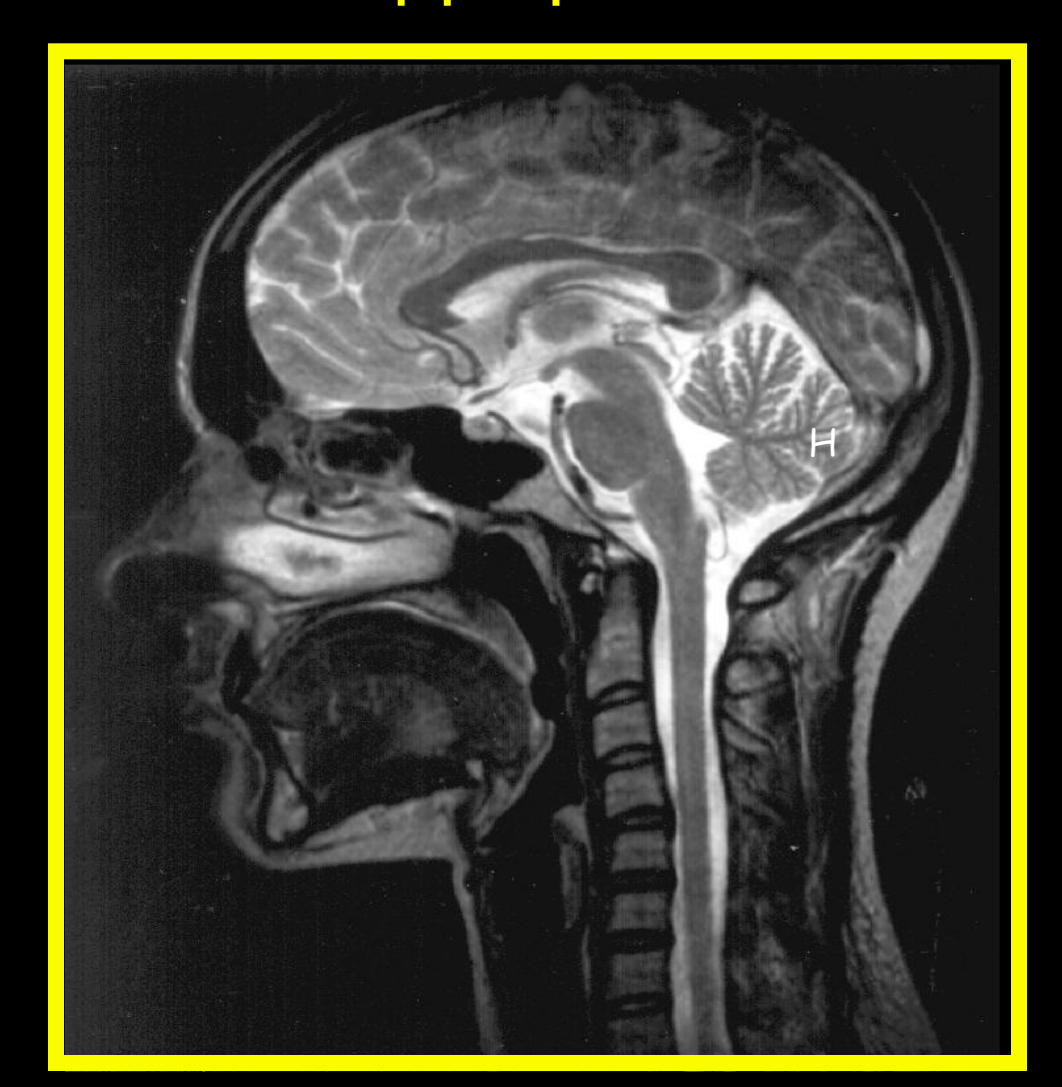




ЯМР в медицине

Видны Только флюиды

Отображение "Тонкого среза"





- Каковы общая и эффективная пористости в сложной литологической среде?
- Какие типы жидкости присутствуют в коллекторе и где?
- Какая проницаемость?
- Будет ли скважина добывать без воды (Индекс свободного флюида / индекс связанной воды)

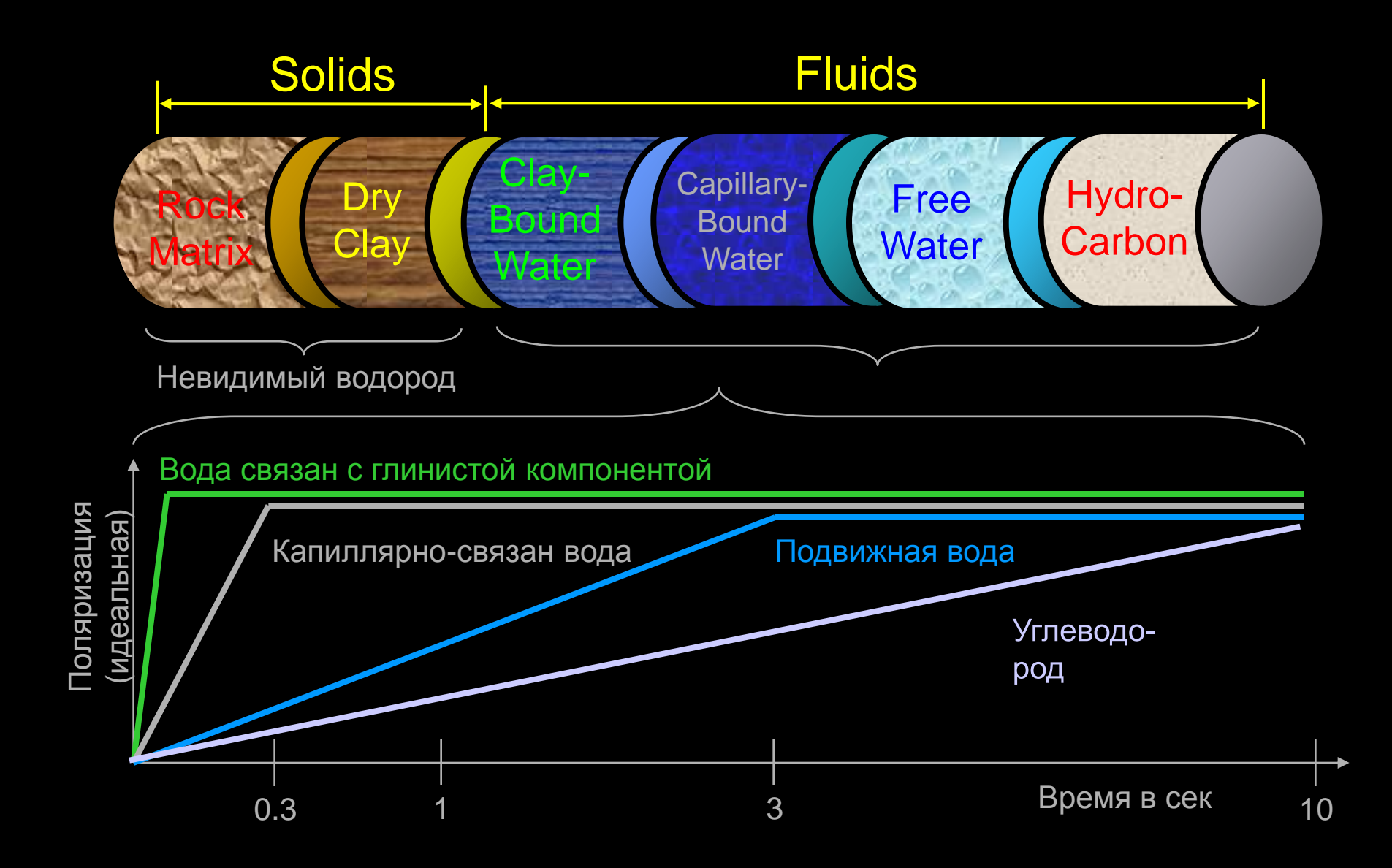
ЯМР дает ответ на все вопросы



ЯМР в нефтяной геофизике

HALLIBURTON[®]

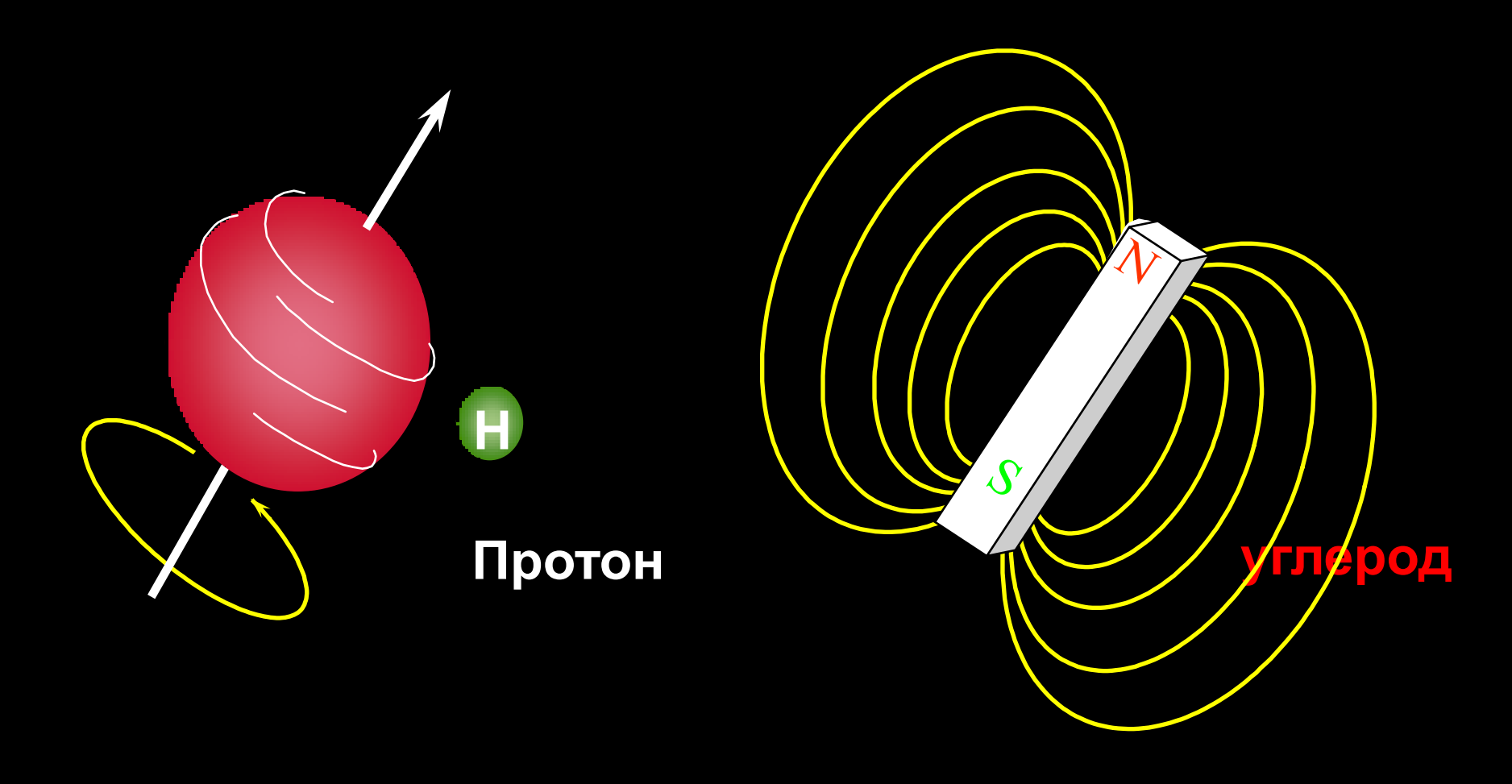
(Релаксация времени: спектр)





Магнитный диполь





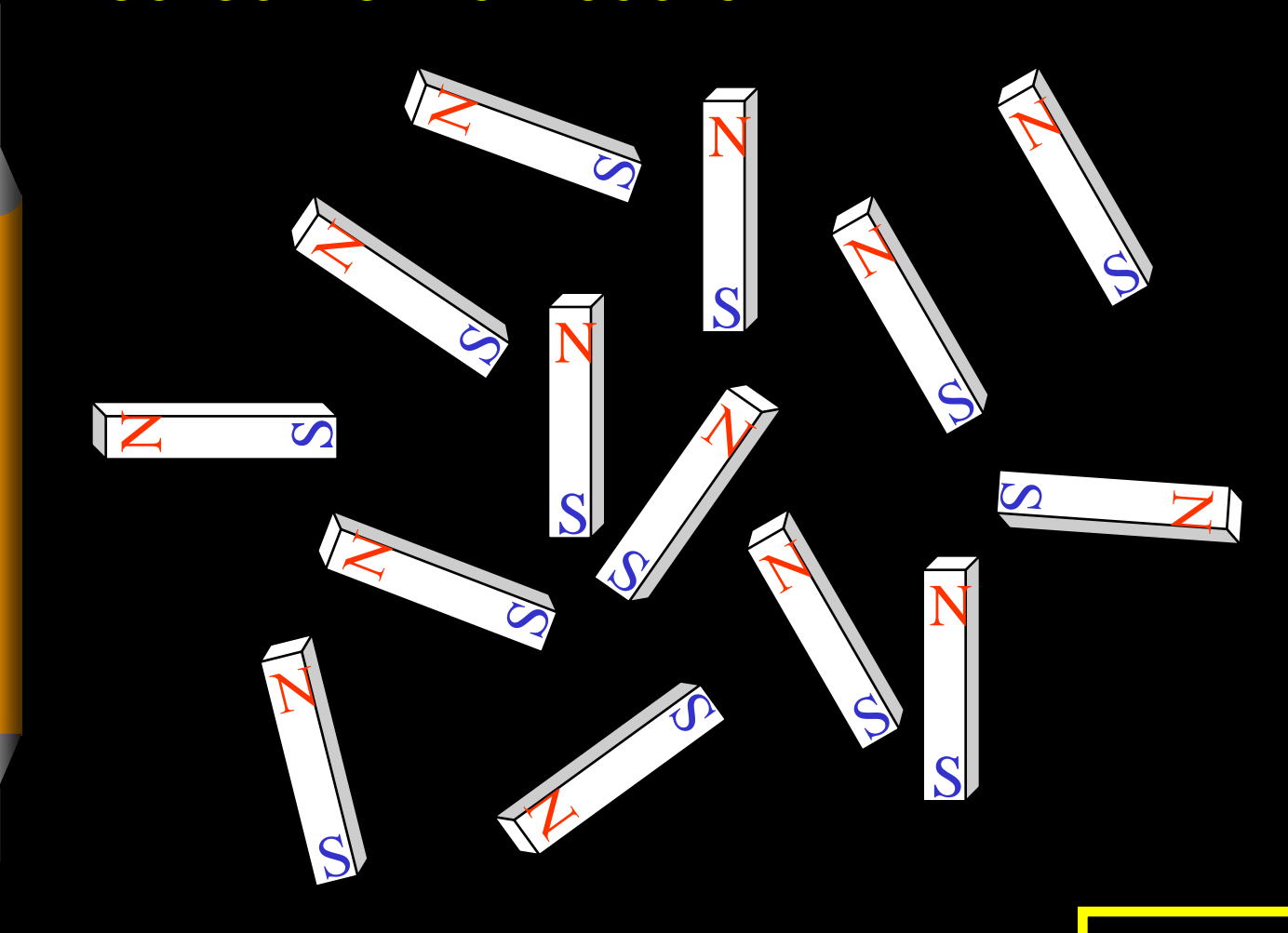
ЯМК работает с протонами - водород -> H_2O и C_xH_y+++



Bo



Неупорядоченная ориентация в естественном состоянии







Увеличение намагниченности



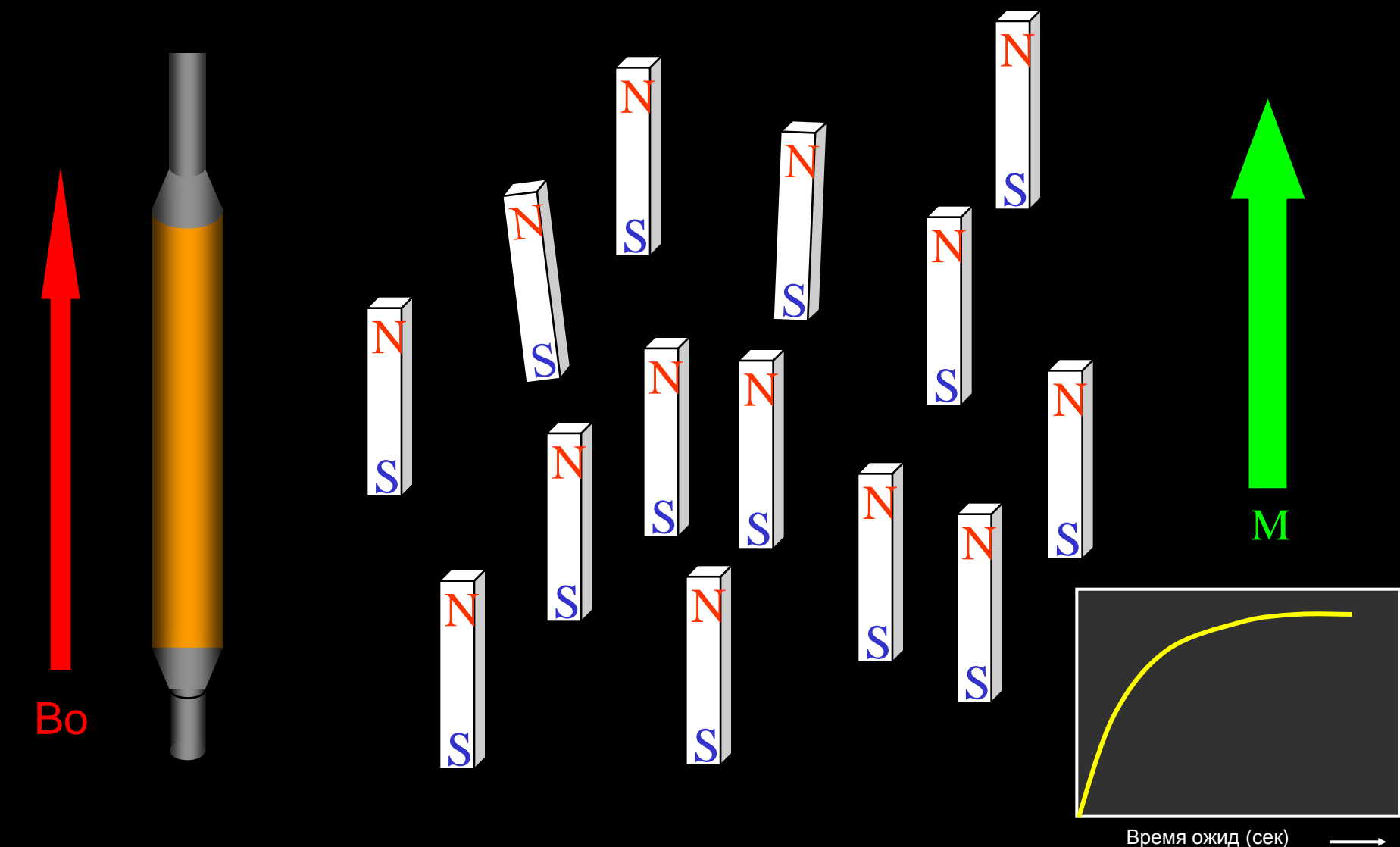
М=вектор намагниченности

t = 0.75 sec





Возрастание при поляризации 95 %



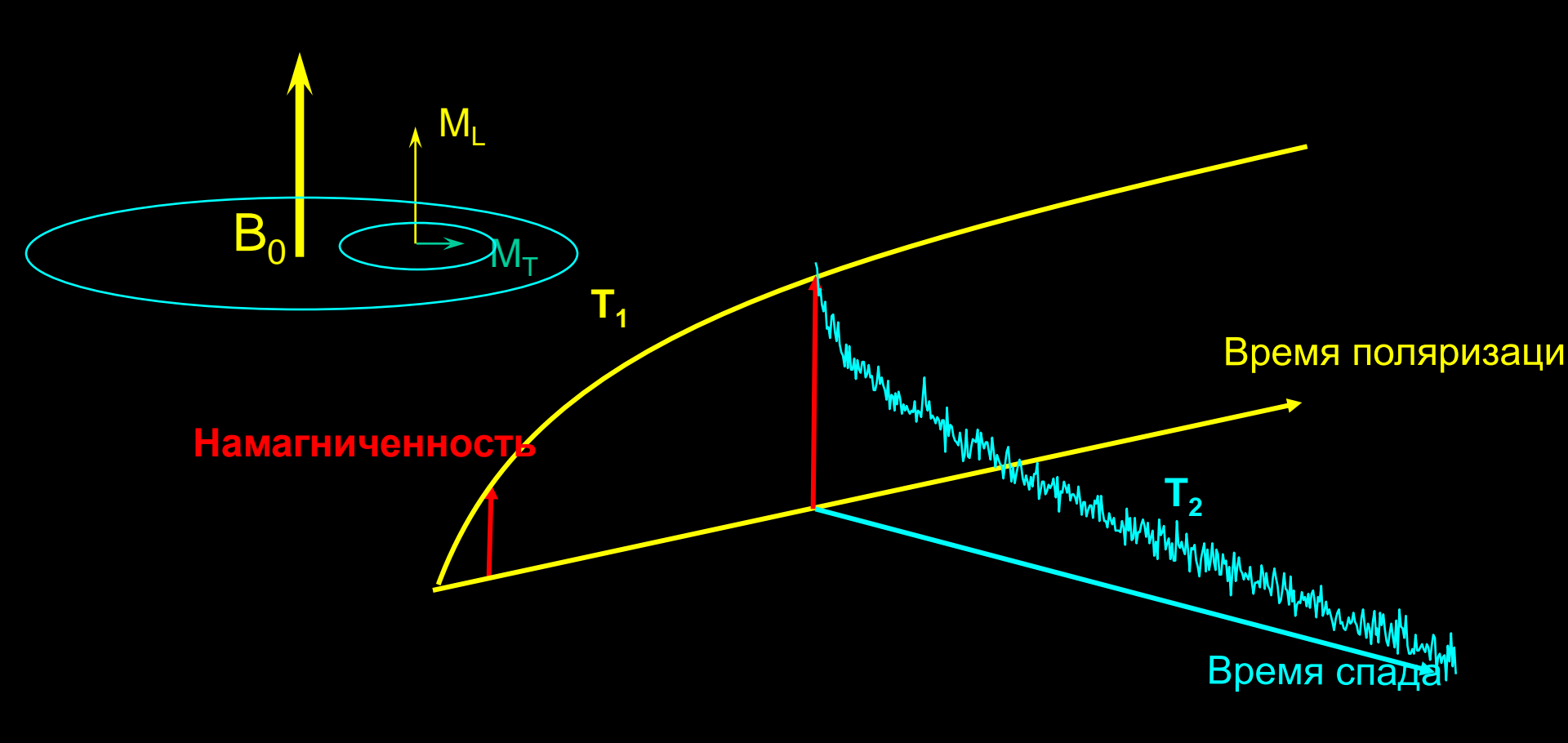
Во=Внешнее статическое магнитное поле М=вектор намагниченности

t = 6.0 sec





Poct T₁ and спад T₂



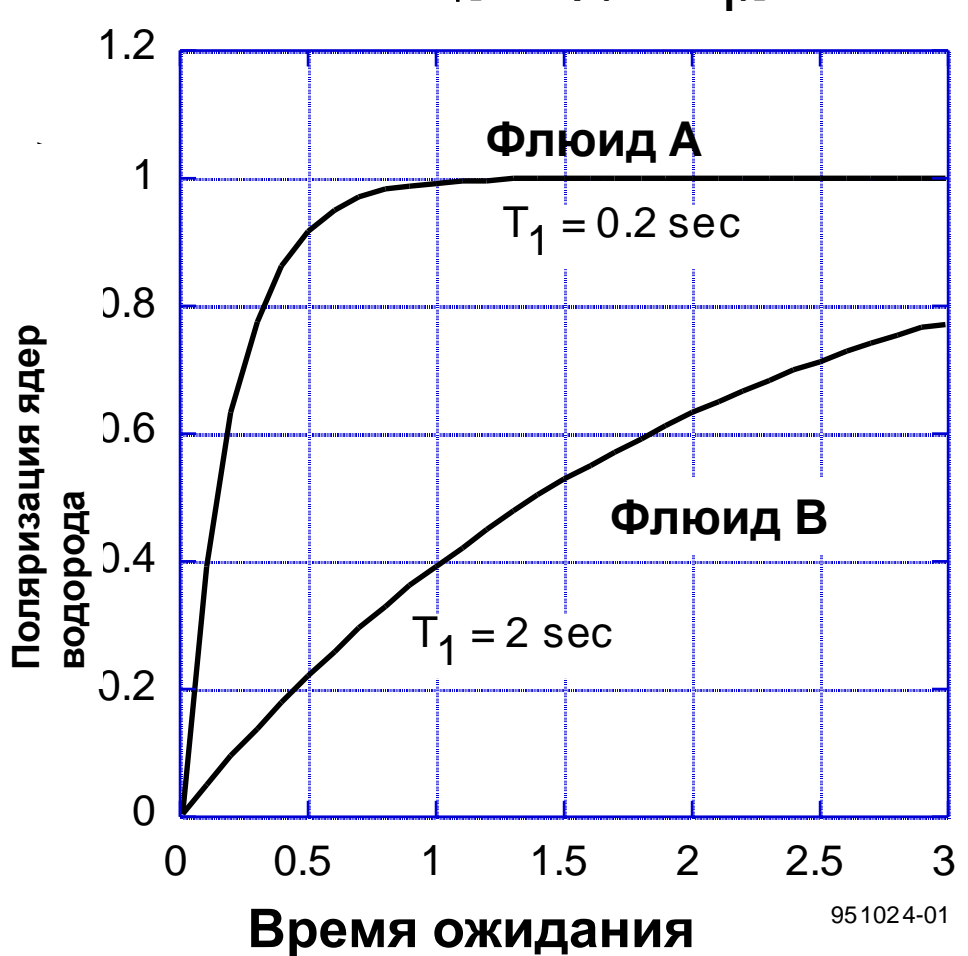
T₁ характеризует скорость, при которой происходит рост продольной намагниченности

T₂ характеризует скорость, при которой происходит спад поперечной намагниченности

Эффект поляризации

Влияние Т

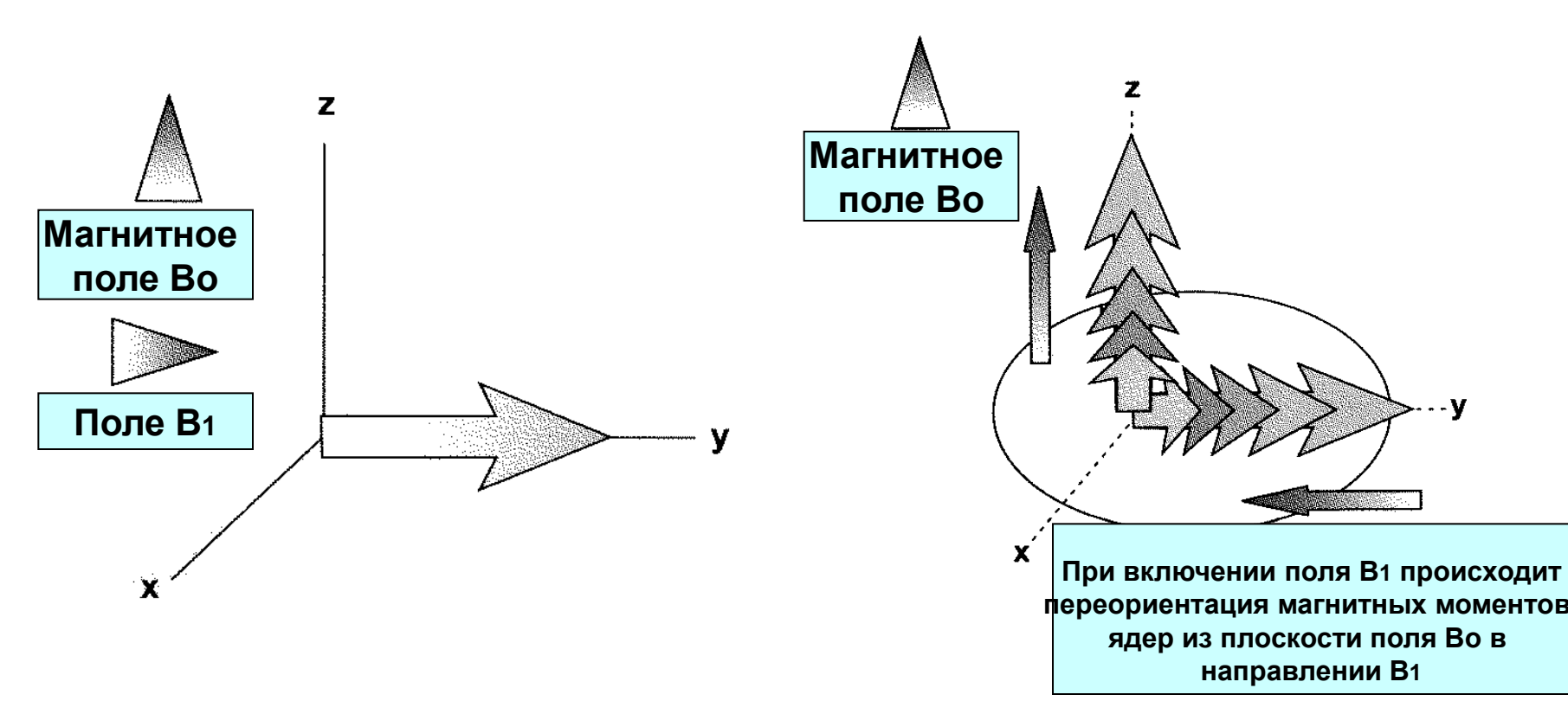
 $S = \phi[1-\exp(-WT/T_1)]$



А- углеводороды

В – пластовая вода

Физический принцип ядерномагнитного резонанса

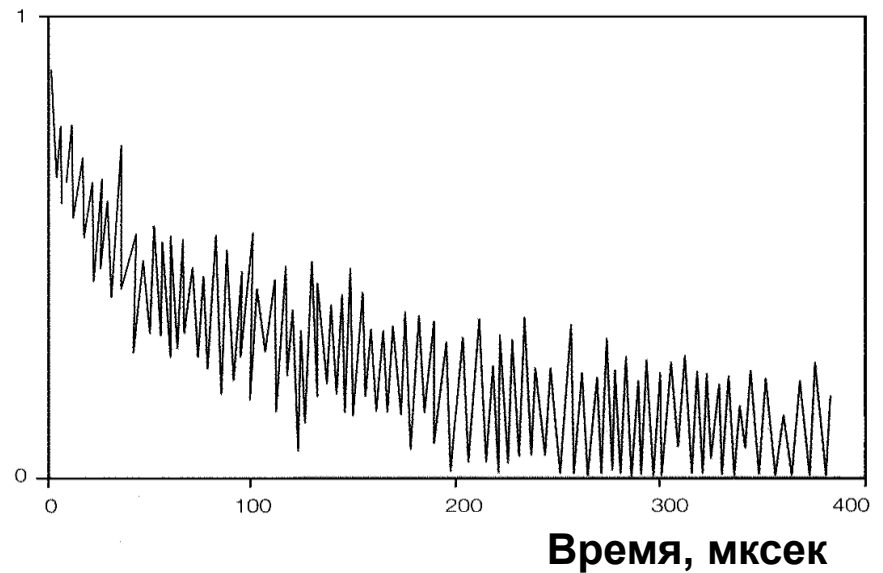


Для переориентации протонсодержащих ядер необходимо воздействие внешним магнитным полем В1, направленным перпендикулярно к Во. При выключении этого поля протоны возвращаются в прежнее положение прецессии. Время, в течение которого происходит процесс установления прецессии ядер – время продольного замедления (релаксации) Т1

Физический принцип ядерно-магнитного резонанса

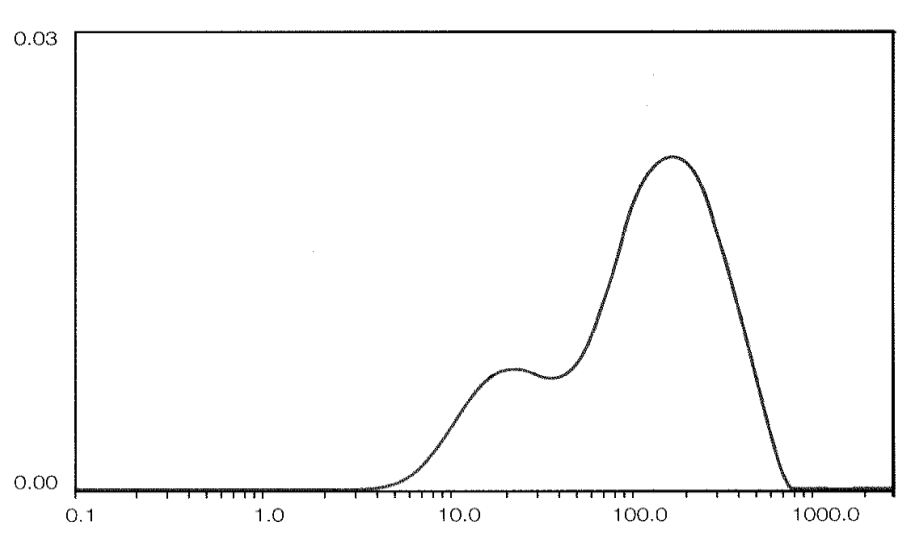


Амплитуда сигнала



Распределение амплитуд сигнала





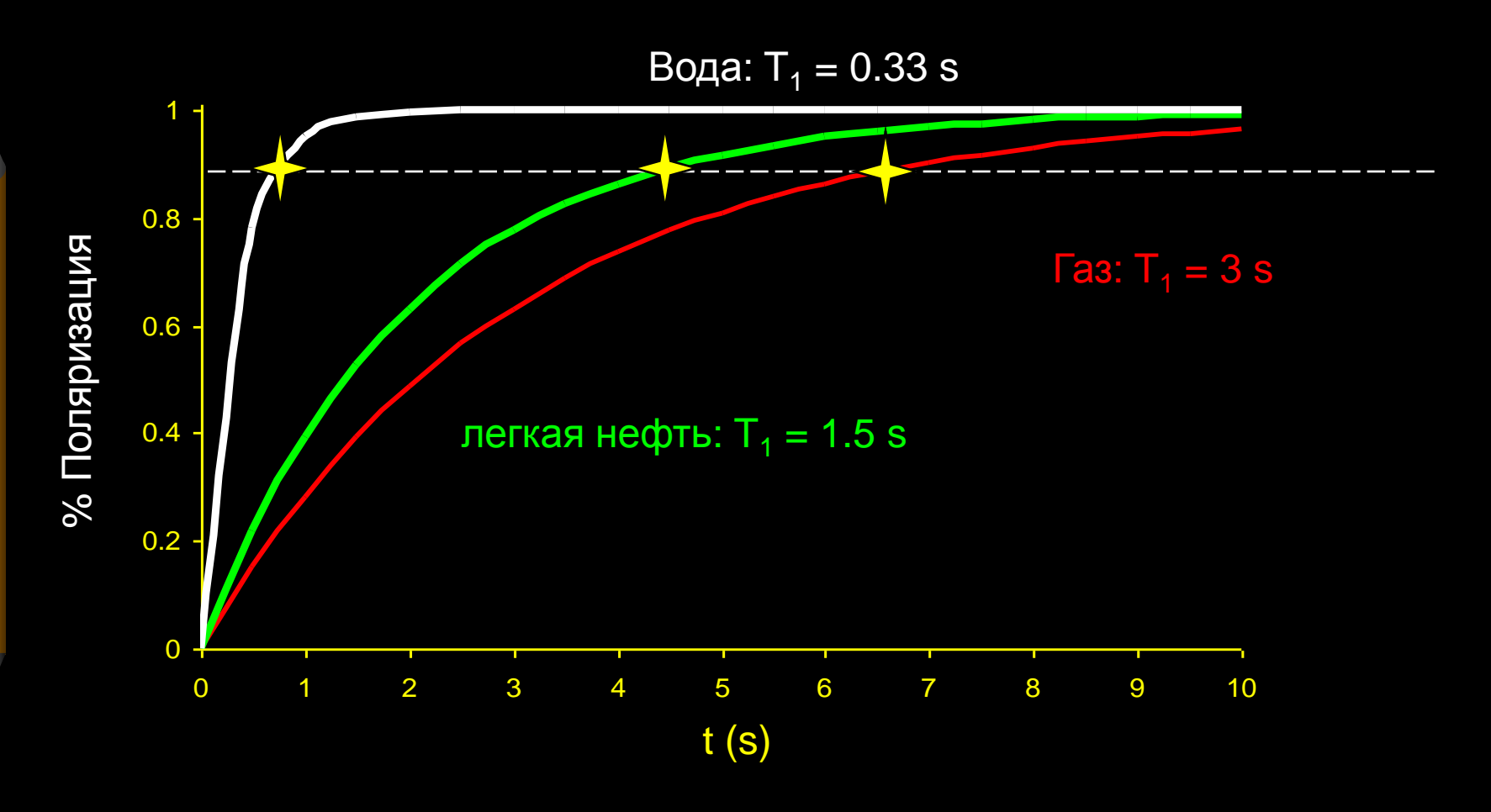
Амплитуда зарегистрированно го сигнала и его спектр по времени поперечной релаксации Т₂

Т2, мксек





Увеличение намагниченности T₁



% поляризации * ф = Измеренная пористость

Цикл ЯМР

Нулевая намагниченность \mathbb{R} Возбуждение спинов сильным статическим полем в течение времени \mathbb{T}_1 в Земном магнитном поле (\mathbb{B}_0) Вектор ядерной намагниченности устанавливается под 90° к оси скважины \mathbb{T}_2 Происходит затухание (\mathbb{T}_2) Измерения Во время измерений, влияние возбужденного магнитного поля

↓ Запись измерений

Нулевая намагниченность

затухает

Прибор ЯМР

Применение

- Оценка проницаемости
- Определение остаточной воды
- Измерение объема свободных флюидов
- Определение тонких продуктивных пластов (6 дюймов.)
- Определение пористости независимо от литологии
- Идентификация УВ
- Выделение продуктивных зон низкого сопротивления

Технические характеристики

Длина 14 фут

Macca 300 lbm

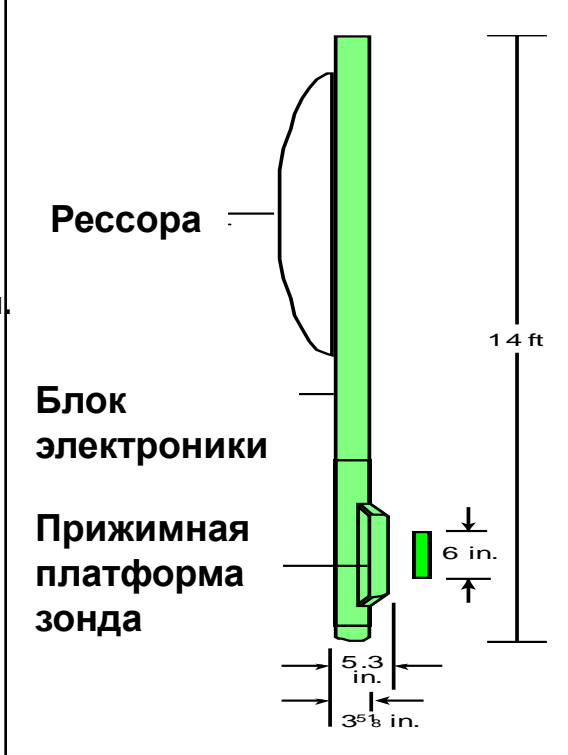
Диаметр 6.0 in.

Мин.диаметр скважины 6.0 in.

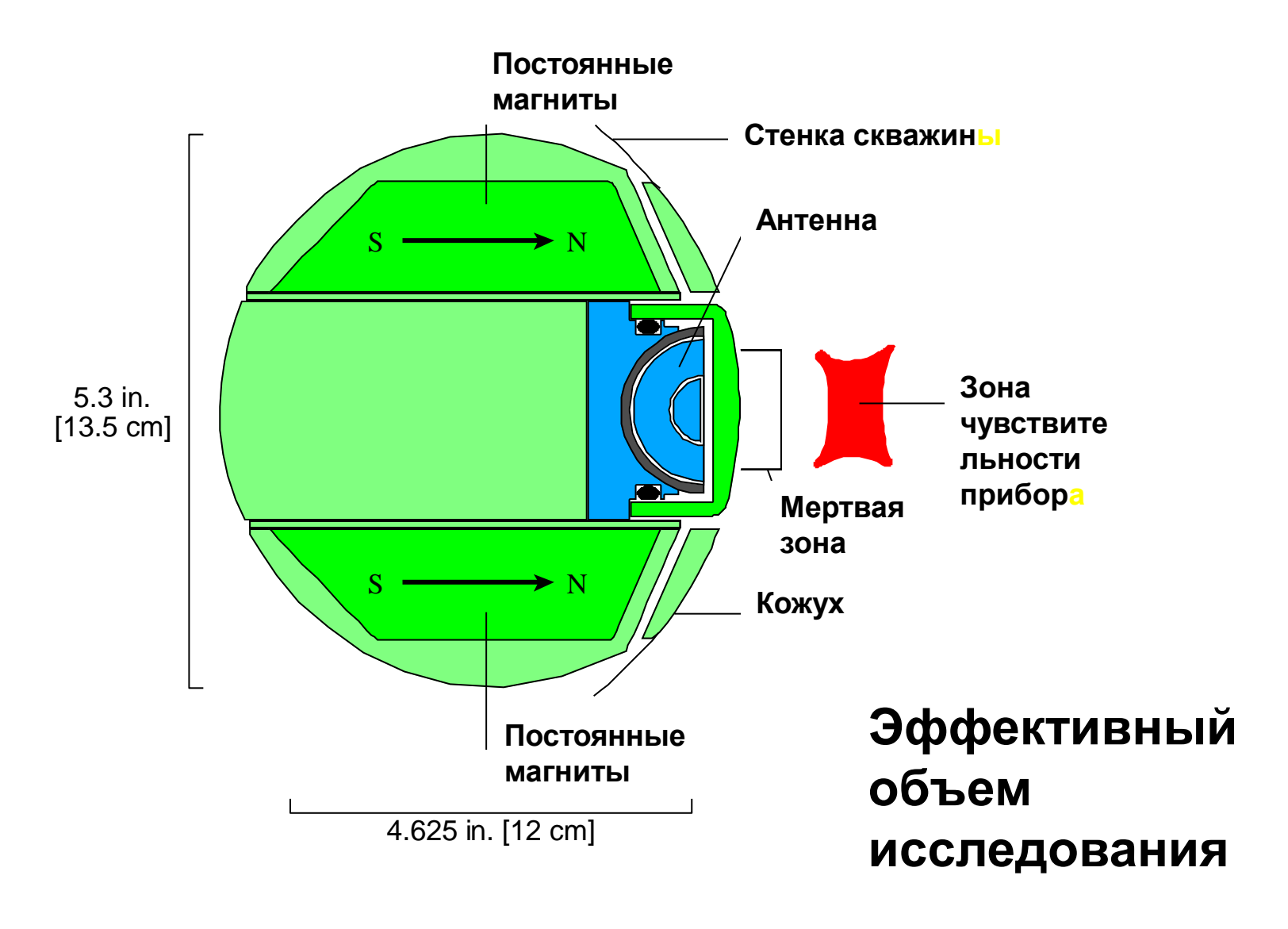
Возможность использовать с другими

приборами

Сопр. Бурового раствора не ограничен



Конструкция зонда ЯМР



Затухание амплитуд

СМЯ = 100%

 Пористость Вода в контрольной емкости

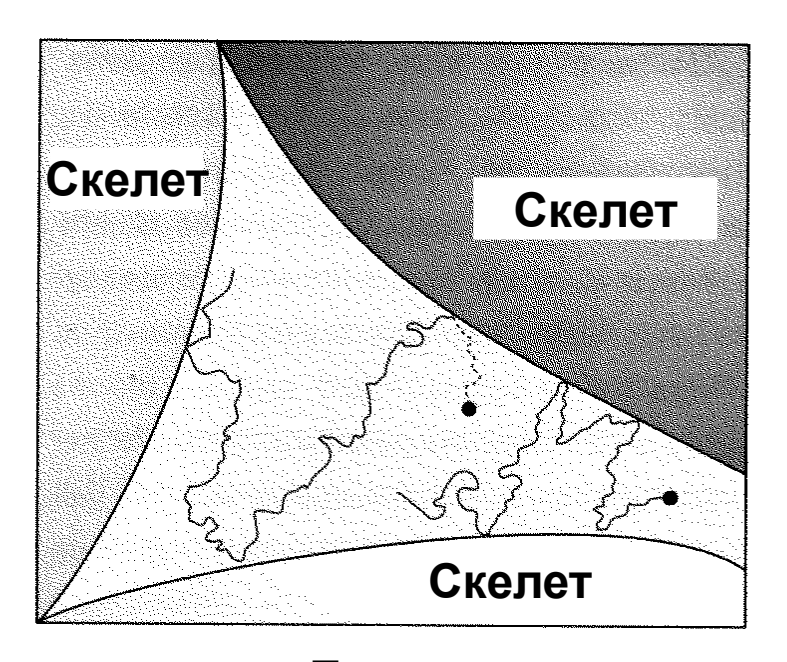
 СМЯ porosity Пористость

 Вода в поровом пространстве
 t Wa er in pore space of rock
 T₂ = 10 to 500 msec

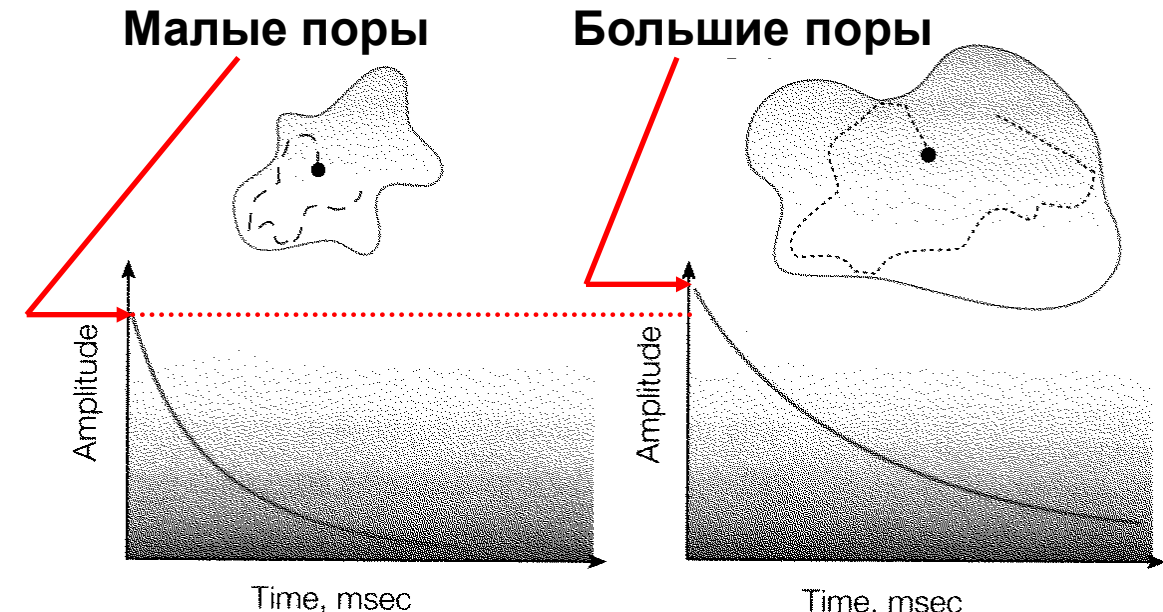
 Время Т im e (Т₂)

Сигнал порождается ядрами водорода, которые находятся в порах породы:

- Первичная амплитуда сигнала позволяет получить СМК пористость
- > Время затухания сигнала (T_2) позволяет судить о размере пор.

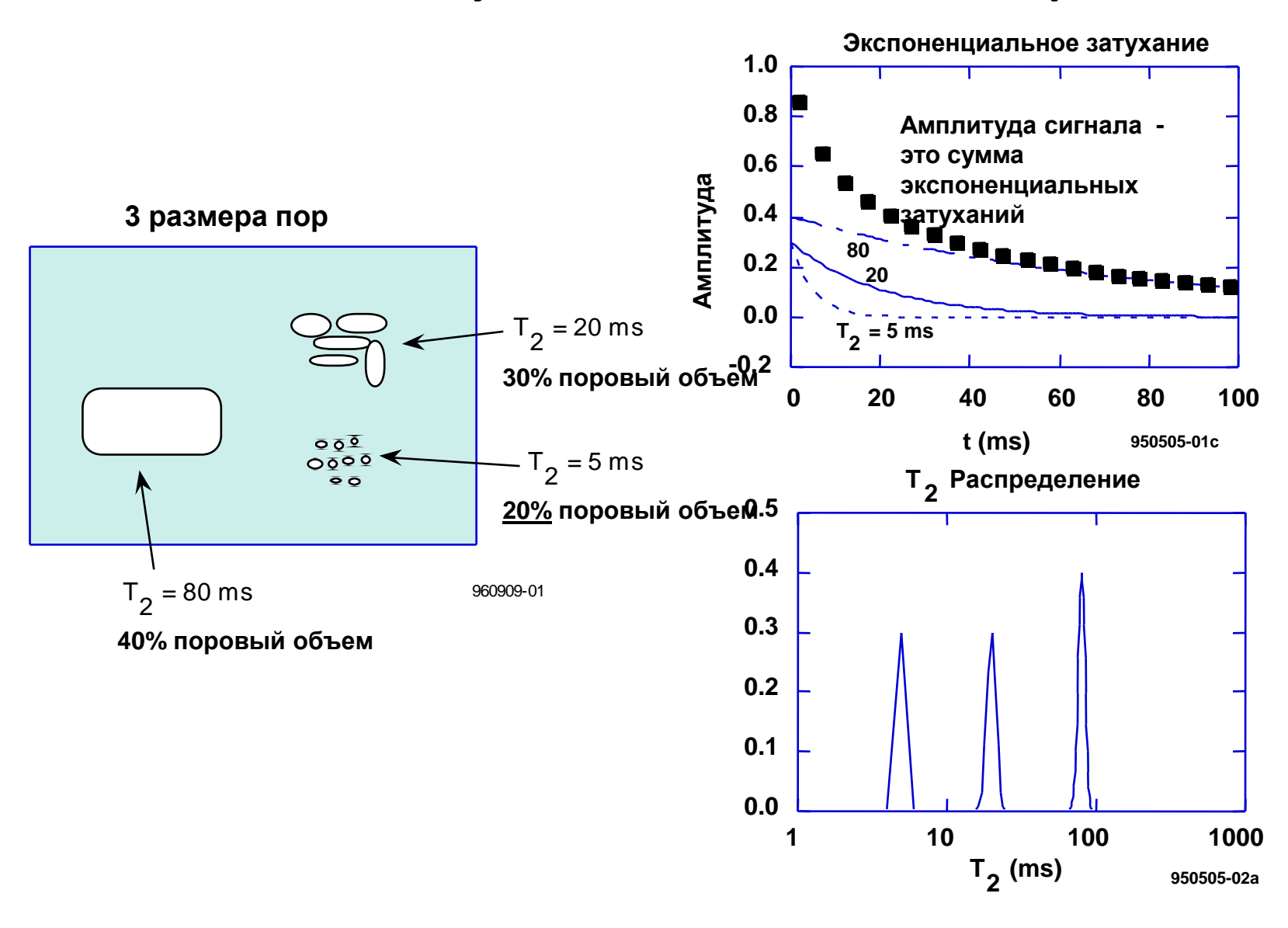


Связь амплитуды сигнала и размеров пор в горных породах

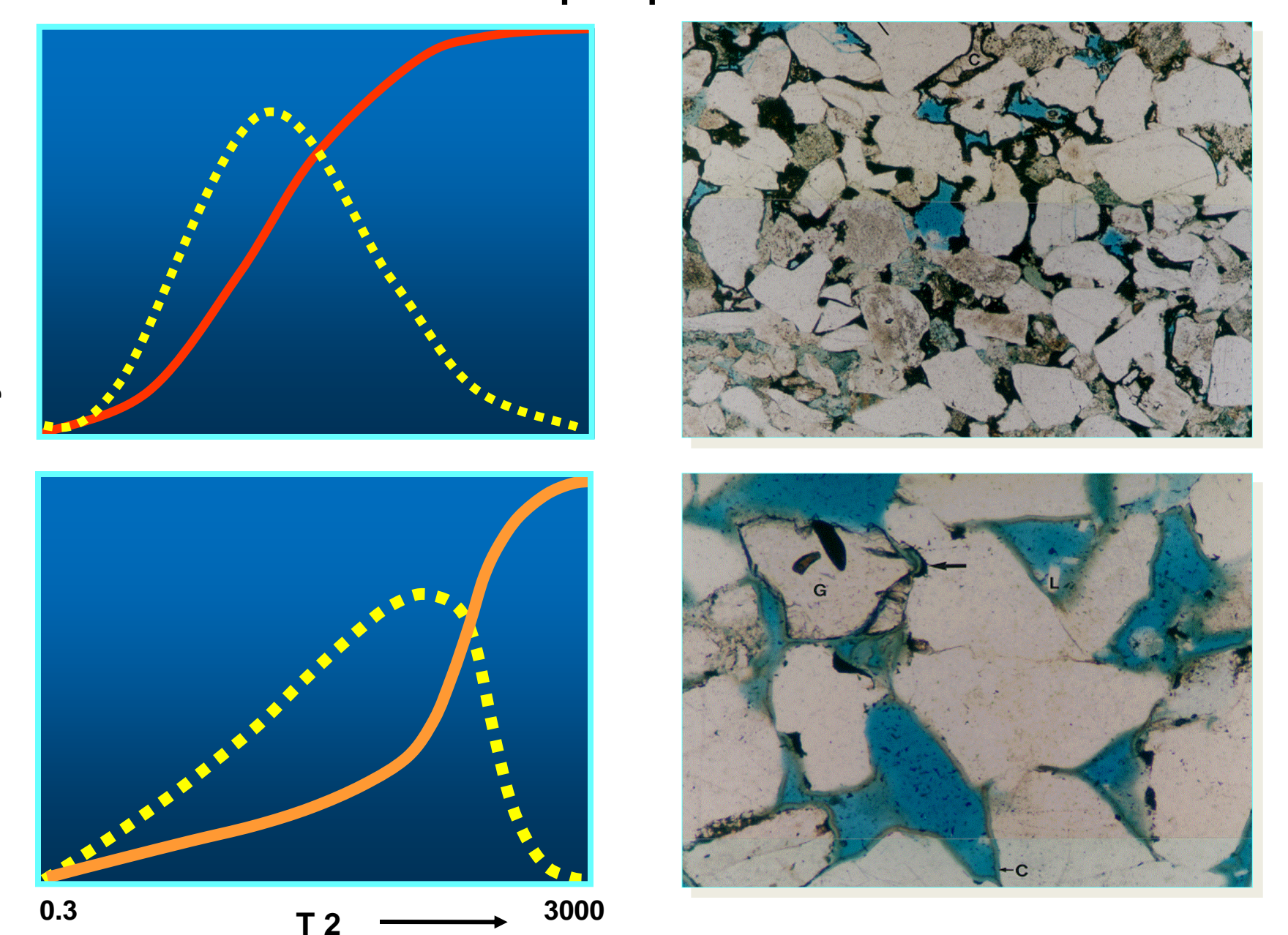


Time, msec

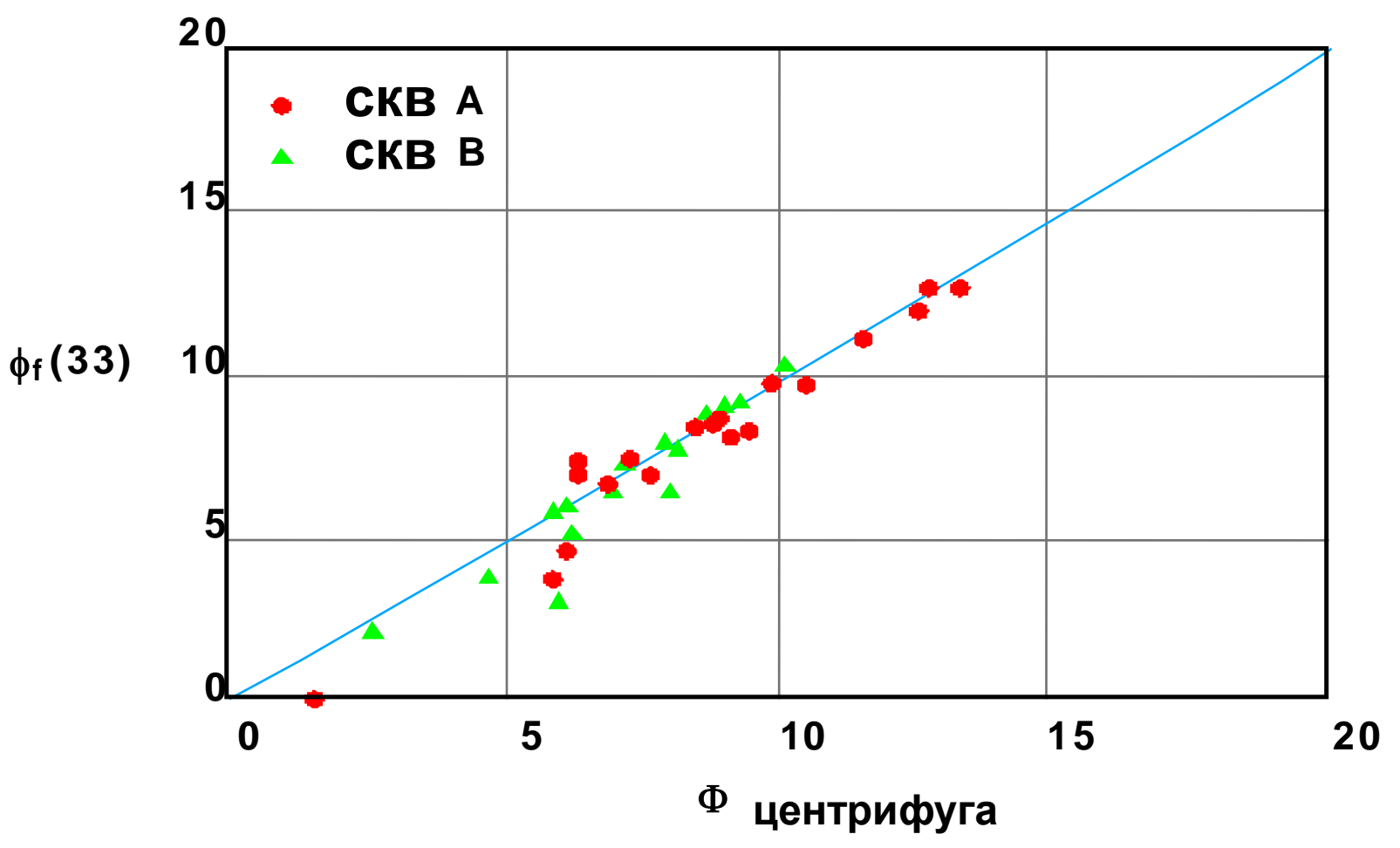
Амплитуда сигнала и пористость



Распределение амплитуд сигналов ЯМР и структура порового пространства

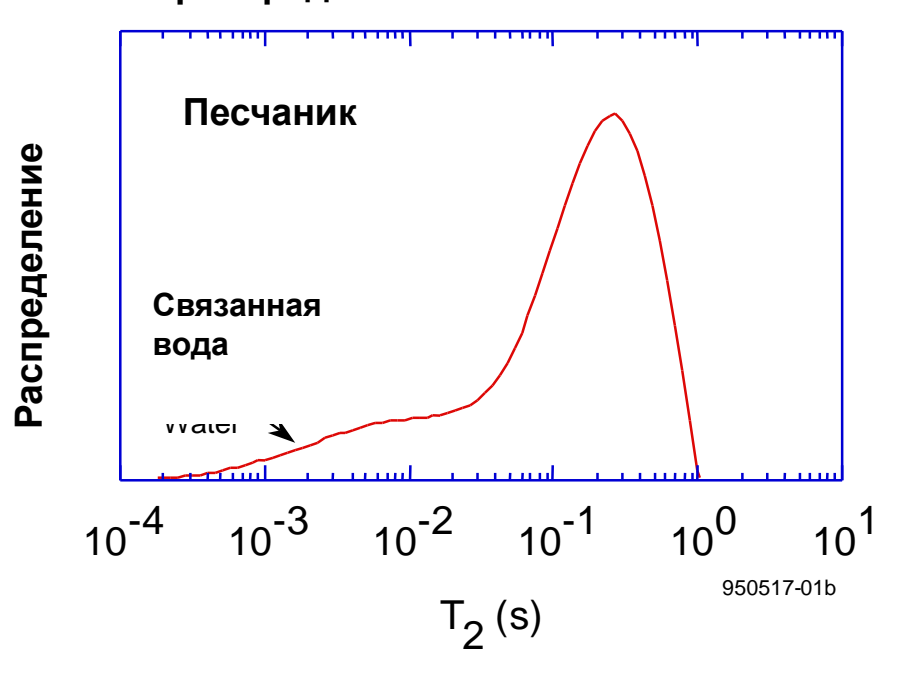


Отношение пористости ЯМР к пористости керна, определенной методом центрифугирования



Определение связанной воды методом ЯМР

Clay Bound Water is Part of the Foot Влияние связанной воды – для песчаников изображено ниже на распределении T2

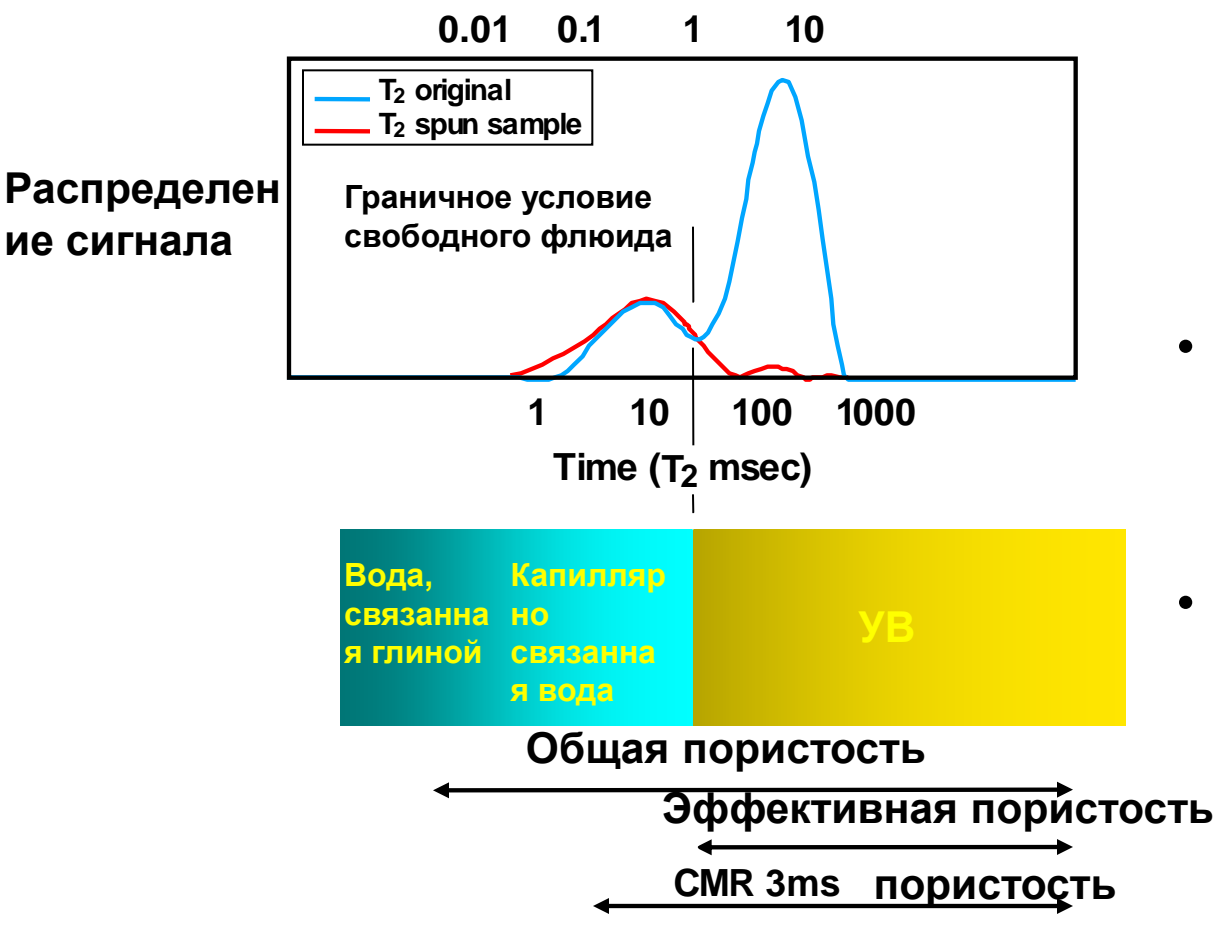


Оценка объема связанной воды с помощью ЯМР



Объемы связанной и свободной воды

Диаметр пор (микрон)



- Для песчаников было определено 33 msec ограничительное условие($\phi_{\rm ff}$)
- Проницаемость песчаника

$$k = C(\phi_{CMR})^4 (T_{2,log})^2$$

Определение проницаемости по ЯМР

• Метод 1: Формула Козени - Кеньона (SDR Perm.)

$$\mathbf{K}_{SDR} = \mathbf{a} \cdot \phi^{\mathbf{b}} \cdot (\mathbf{T}_{2LM})^{\mathbf{c}}$$

а = эмпир. конст., ~ 4 для песчаников $\mathbf{K_{SDR}} = \mathbf{a} \cdot \phi^{\mathbf{b}} \cdot (\mathbf{T_{2LM}})^{\mathbf{c}}$ | b = показатель пористости, ~ 4 c = показатель $\mathsf{T_2}$ ~ 2 T_{2LM} = логарифмическое среднее T_2

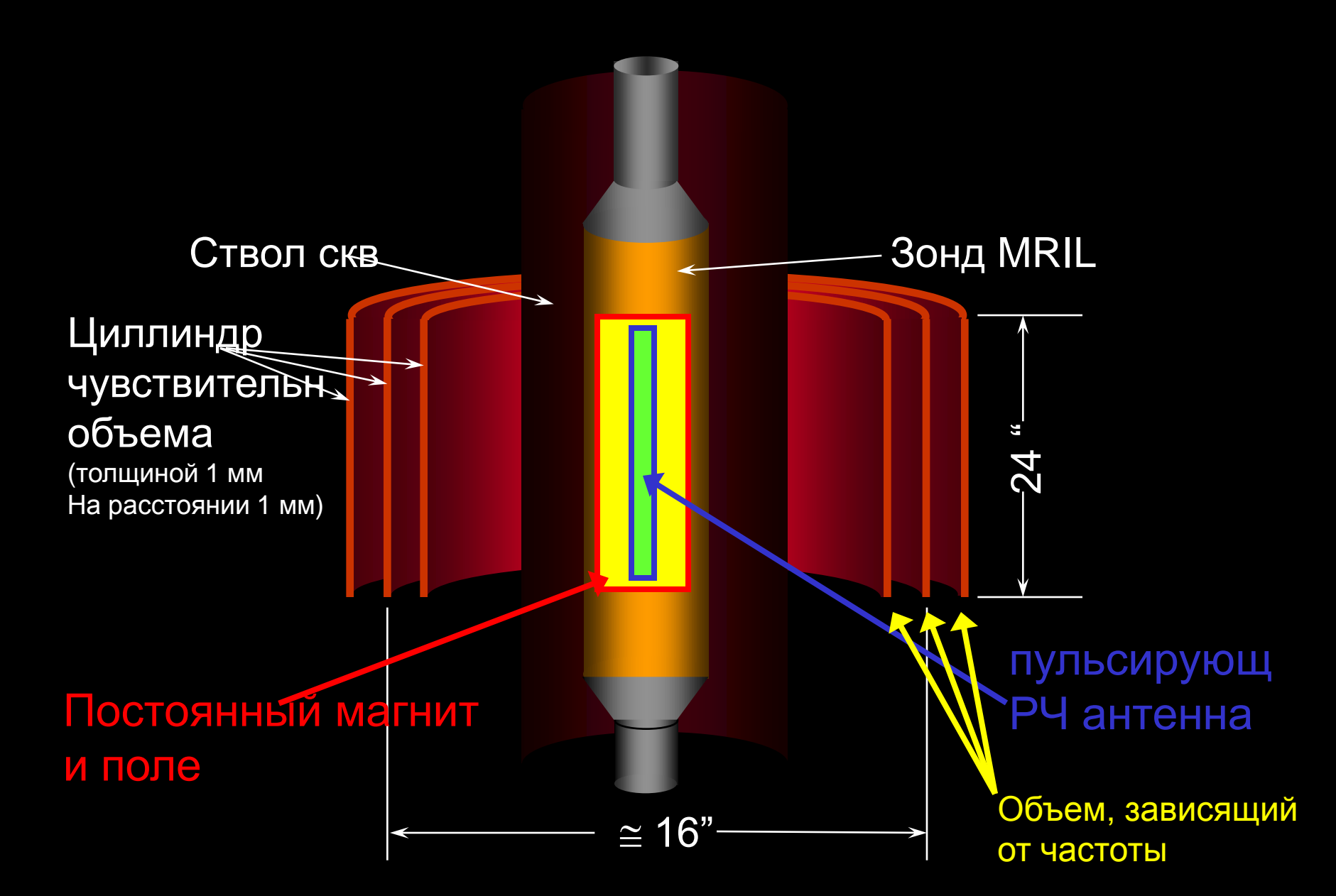
Method 2: Формула Тимура - Коатса (Timur Perm.)

$$K_{Timur} = a' \cdot 10^4 \cdot \phi^{b'} \cdot \left(rac{FFV}{BFV}
ight)^{c'}_{\begin{subarray}{c} a' = эмпир. конст., ~ 4 для песчаников b' = показатель пористости, ~ 4 c' = показатель отношений, ~ 2 FFV = объем свободной жидкости BFV = объем связанной жидкости$$





MRIL в стволе

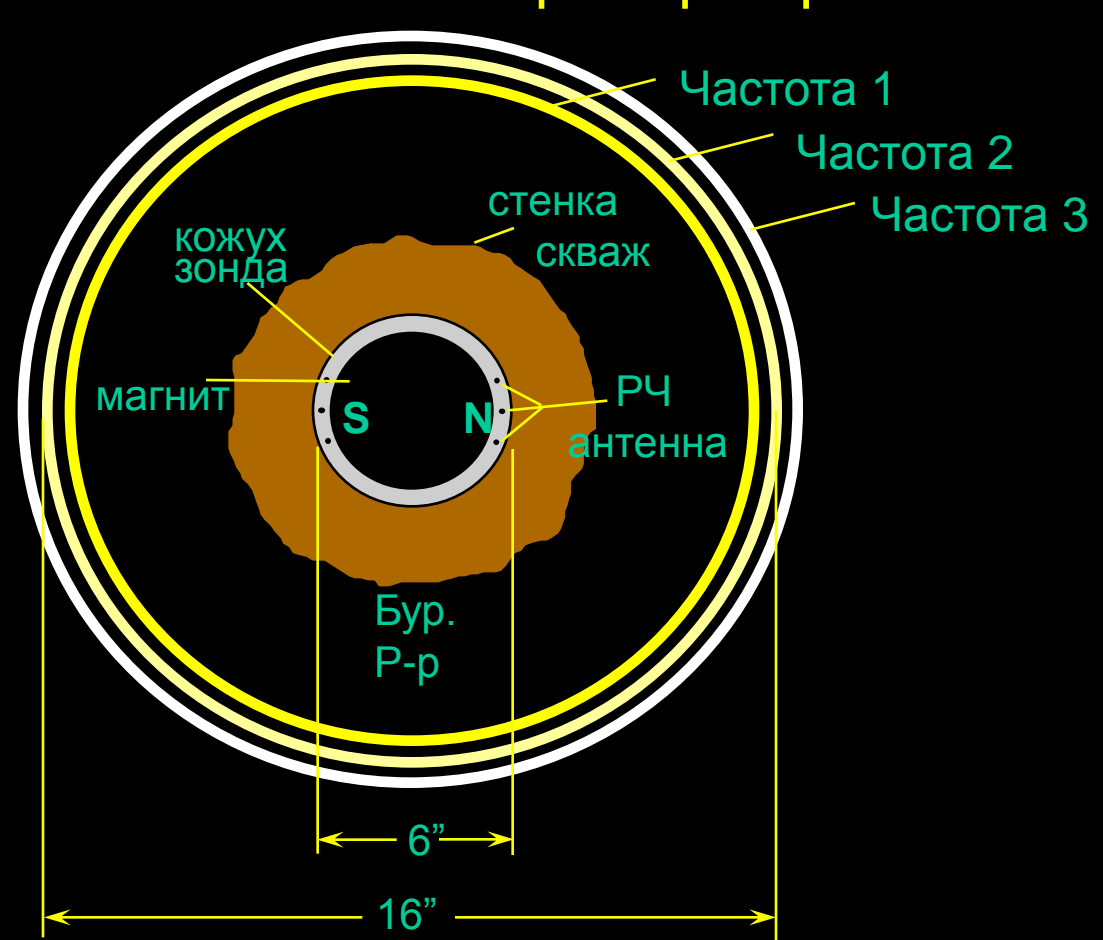






Глубина исследования MRIL

Многочастотный прибор серии С

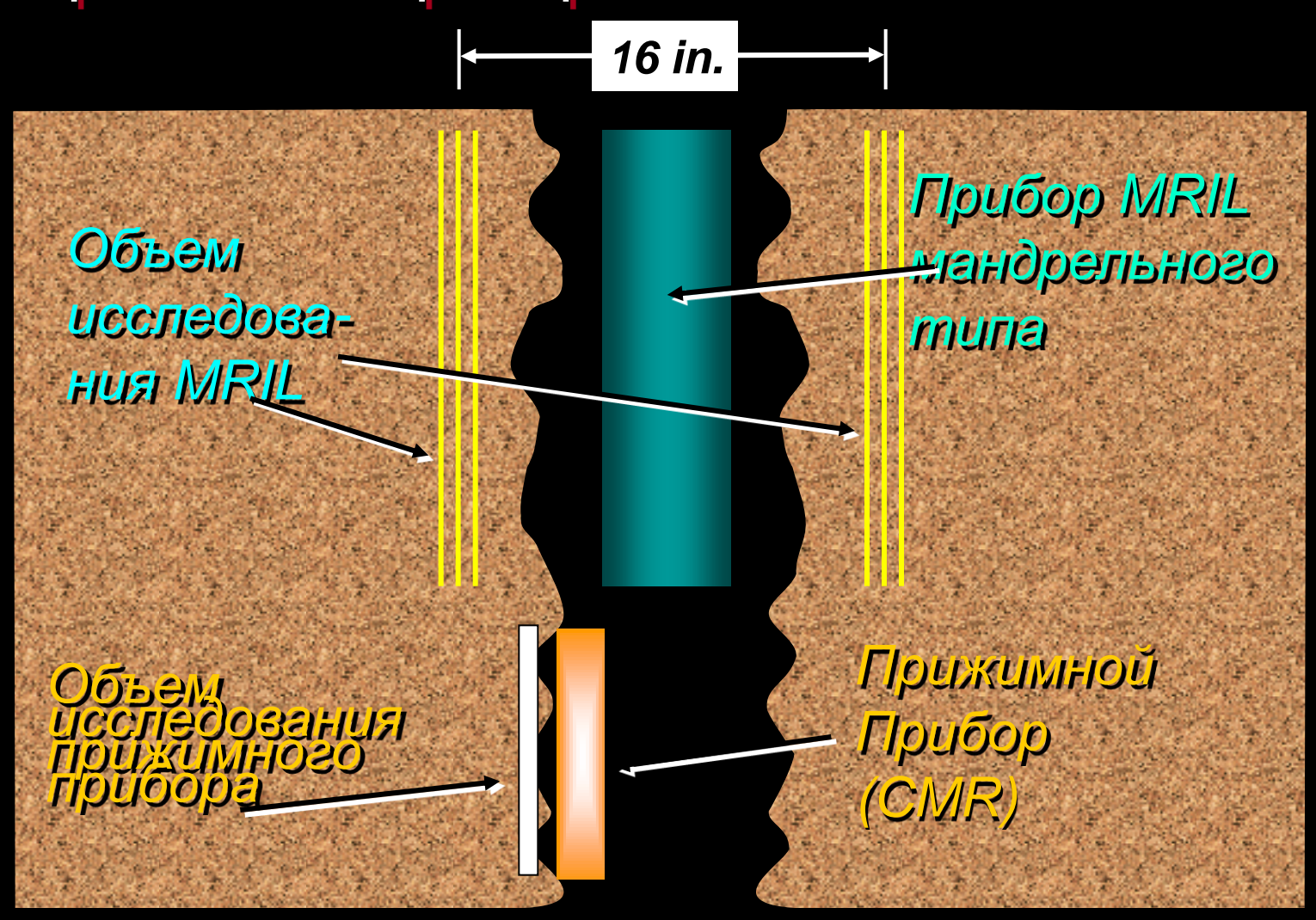


Пласт





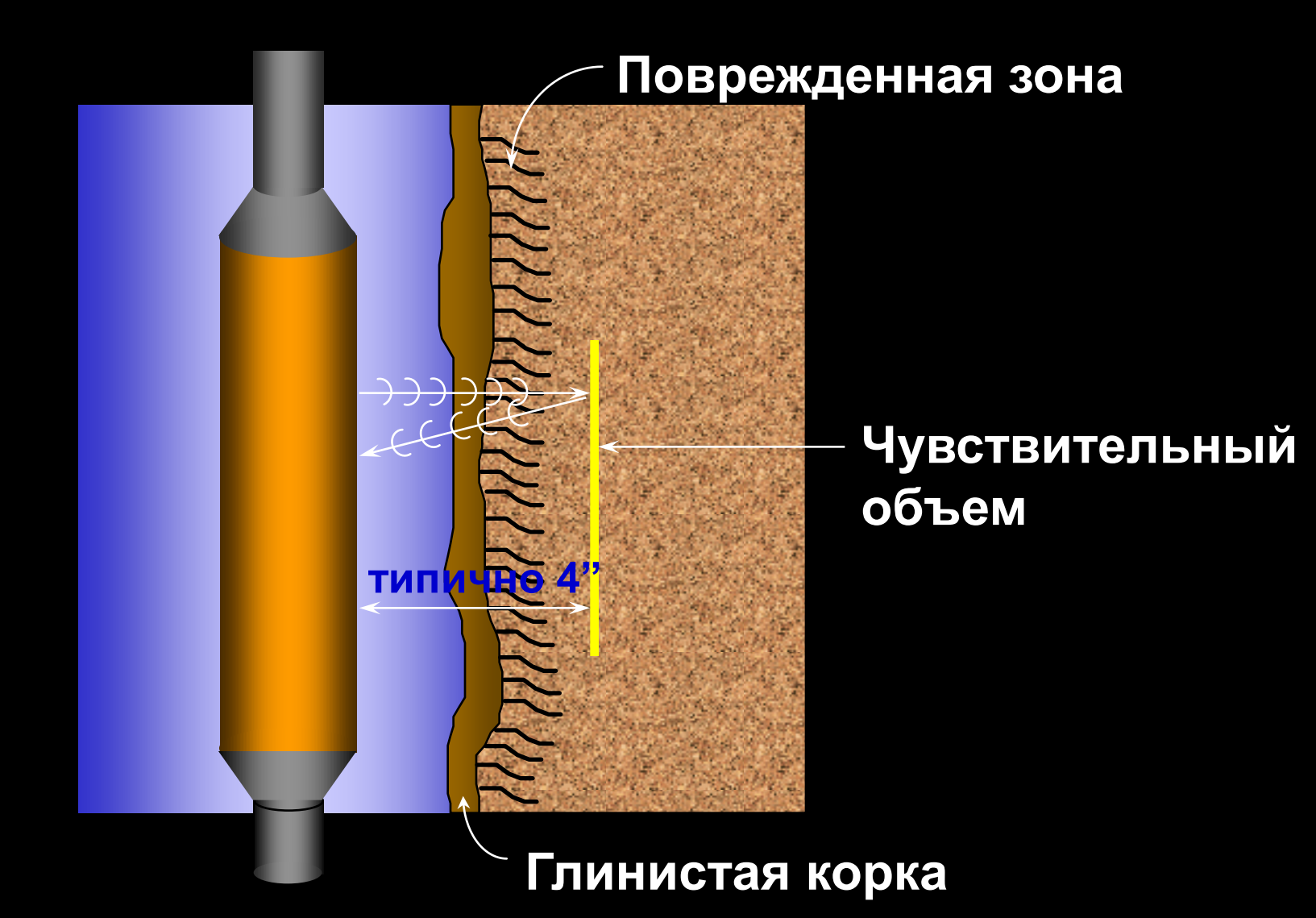
Влияние неровности стенок на каротажные приборы





MRIL в стволе скважины









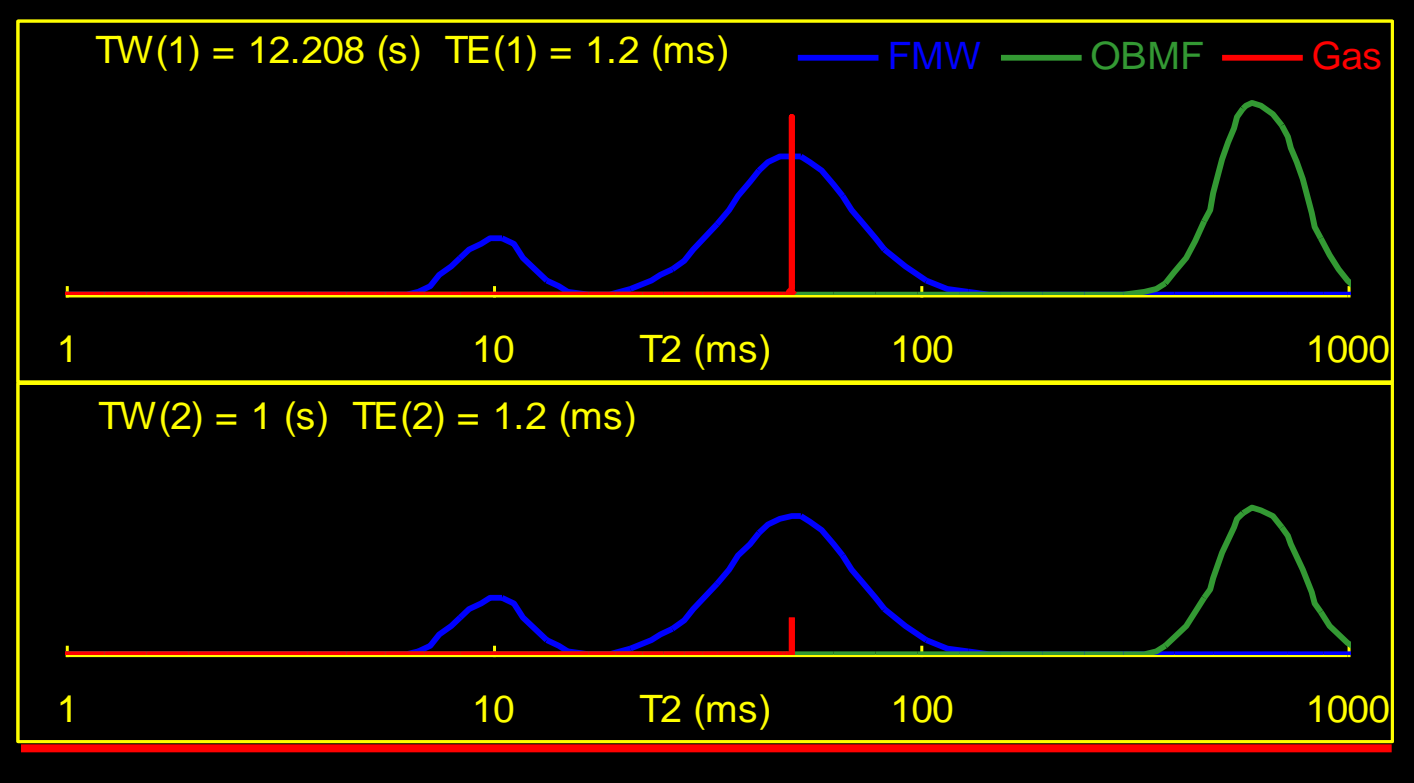
Измерение спада сигнала

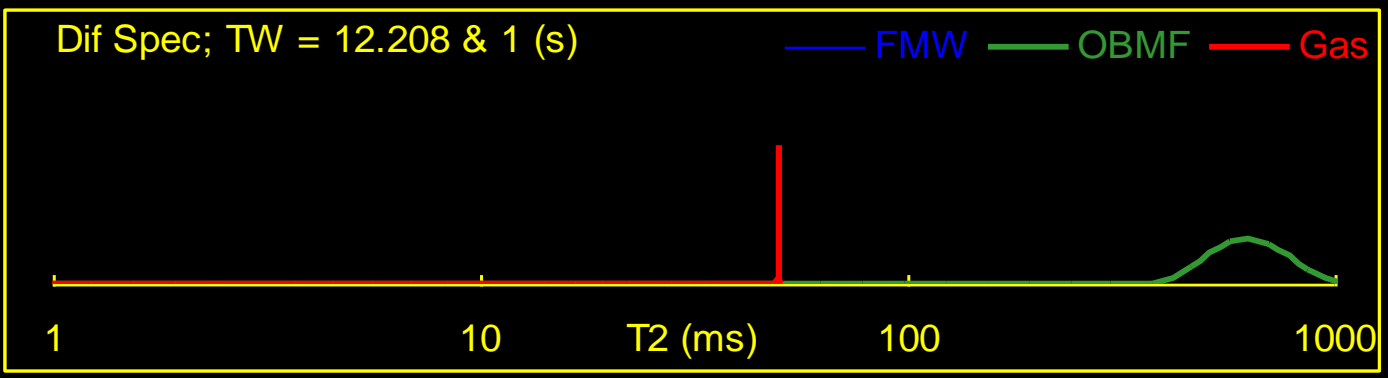






Метод разницы спектров

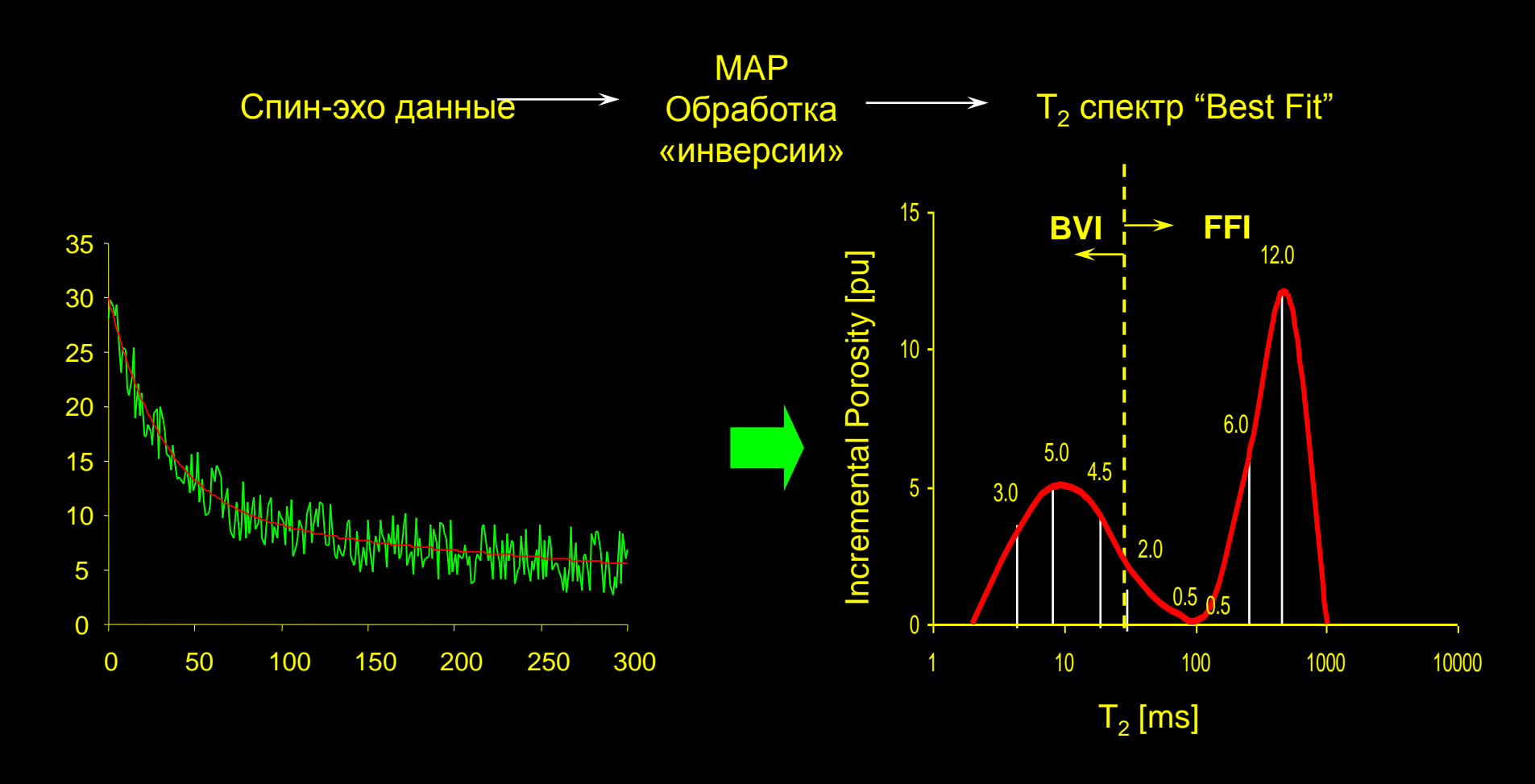






Обработка данных - инверсия





T_{2i} are pre-selected:

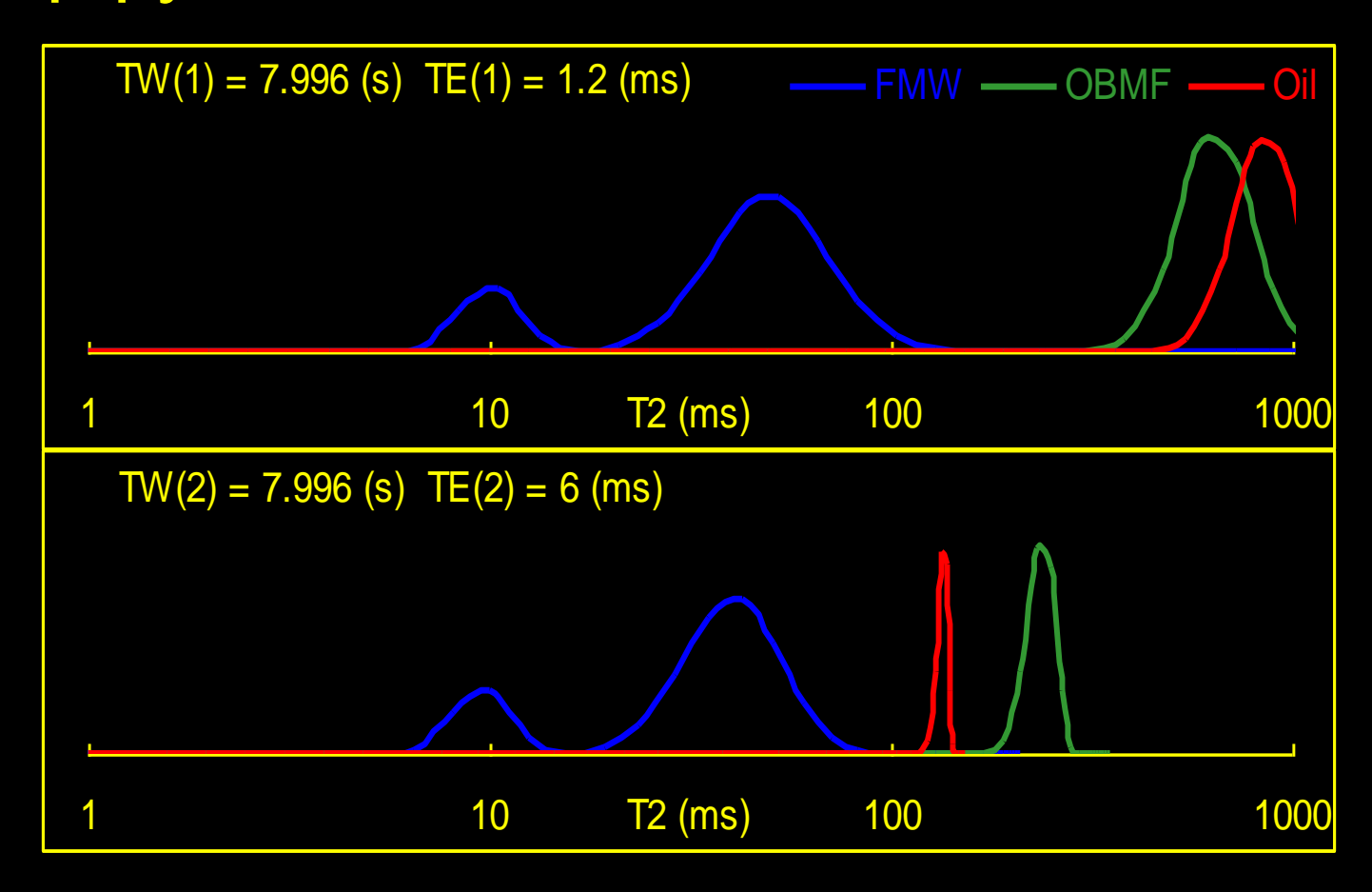
 $T_{2i} = 4, 8, 16, 32, 64, 128, 256, 512, 1024...$

Water-saturated rock: $\rho T_2 = V/S$





Метод сдвига спектра в результате диффузии

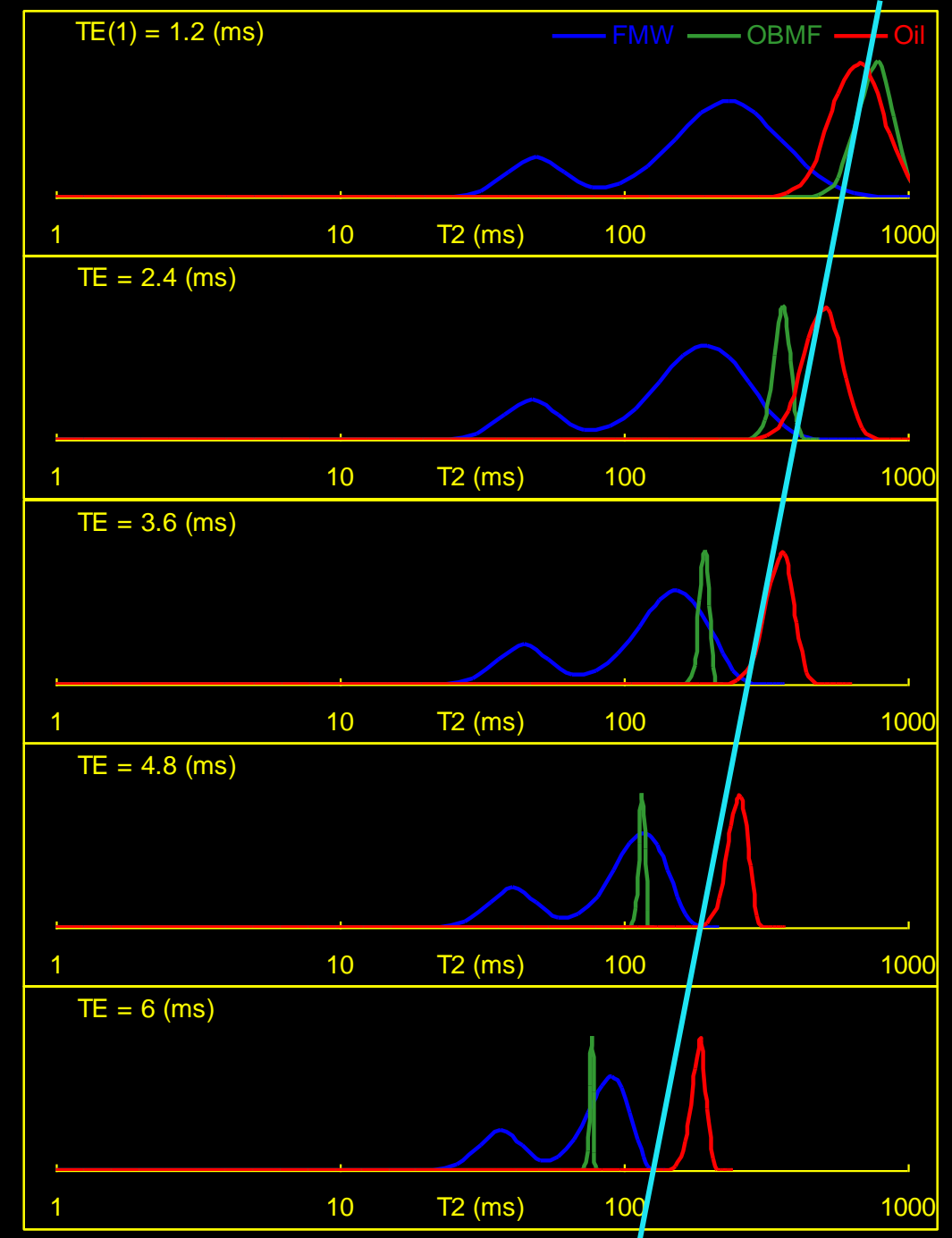




TE(1) = 1.2 (ms)—— FMW —— OBMF



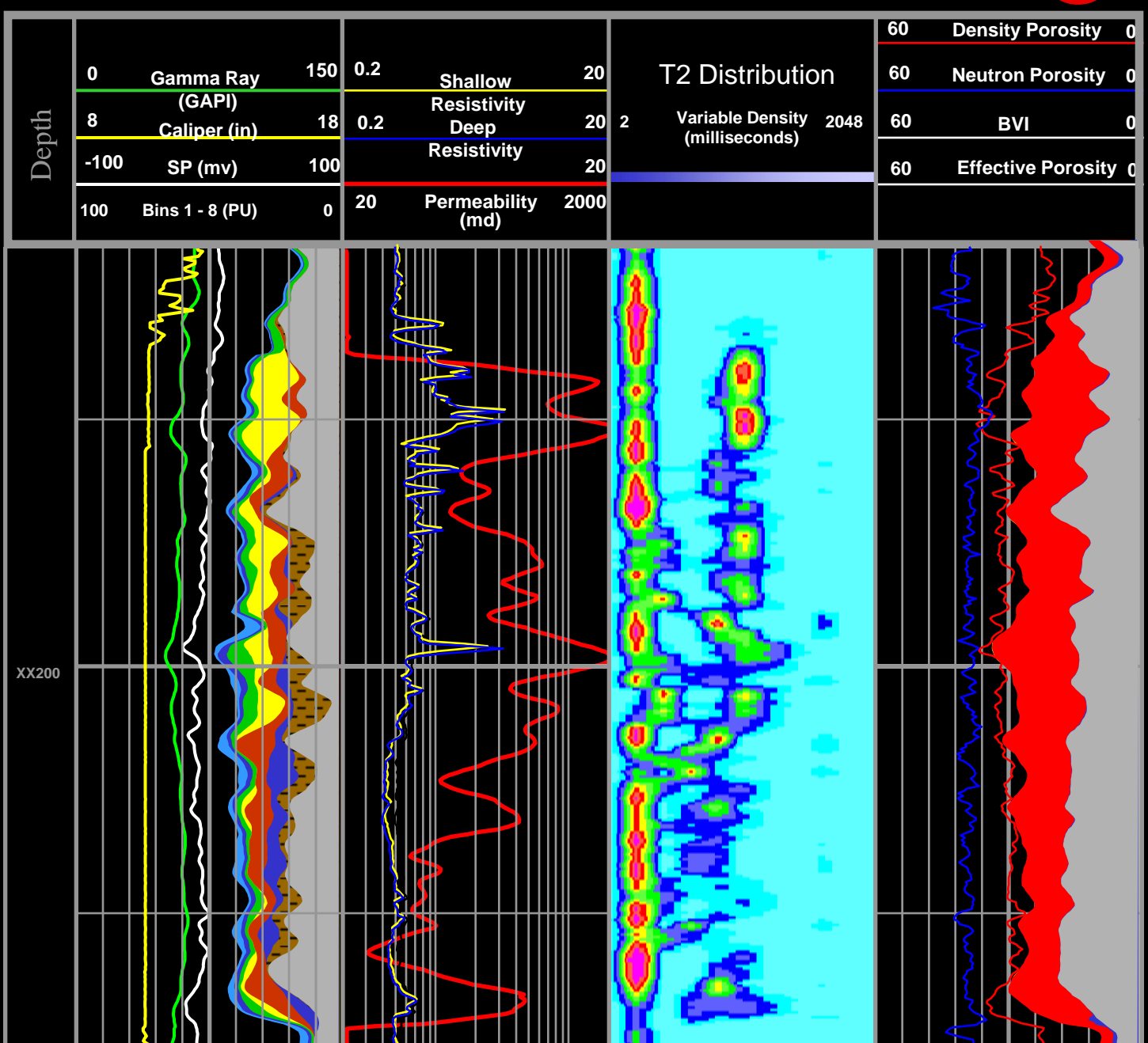




Линия воды



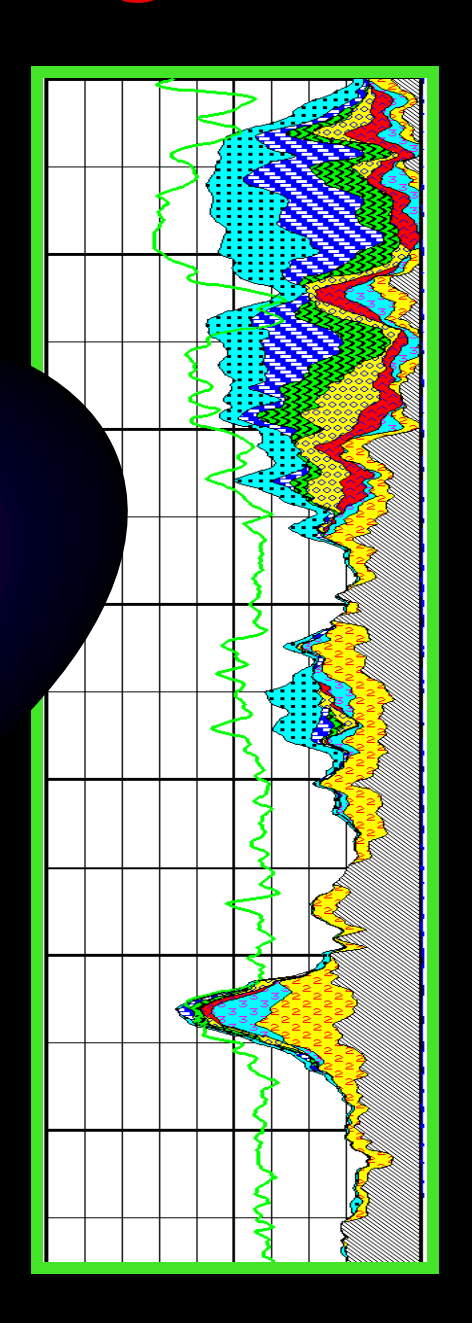














Сбор данных ЯМР







Ядерно-магнитные св-ва пластовых флюидов



	T ₁ (s)	T ₂ (ms)	HI	η (cp)	D (10 ⁻⁵ cm ² /s)
Brine	0.001 - 0.5	1 - 500	1	0.2 - 0.8	1.8 - 7 p-
нефть	3 - 4	300 - 1000	1	0.2 - 1000	0.0015 - 7.6
газ	4 - 5	30 - 60	0.2 - 0.4	0.011 - 0.014	80 - 100

длин
$$T_1$$
 & длин $T_2 =>$ Нефть длин T_1 & корот $T_2 =>$ Газ





Каротаж ЯМК:

обработка и интерпретация данных



MRIL Проницаемость

$$MPERM = \left(\left(\frac{MPHI}{C} \right)^2 \left(\frac{FFI}{BVI} \right) \right)^2$$





Корректировки и контроль качества ЯМР:

Кривые качества контроля:

MRIL корректир

B1MOD +/-

+/- 5% от калибровки В1

GAIN

(для определения RA и скорости каротажа)

рабочий цикл

CHI

< 2

(кривая для соответ качестзу)

S/N

> 5

(Prime 16 ft/min. > 10 -12) (C @ 5 ft/min. > 10 - 12)

Ne

> T2_{max} / 3. Te

(кол-во эхо-сигналов)

PHNO

≈ 1.0

(стандарт отклонен шума после вращения)

PHER

 ≈ 0.0

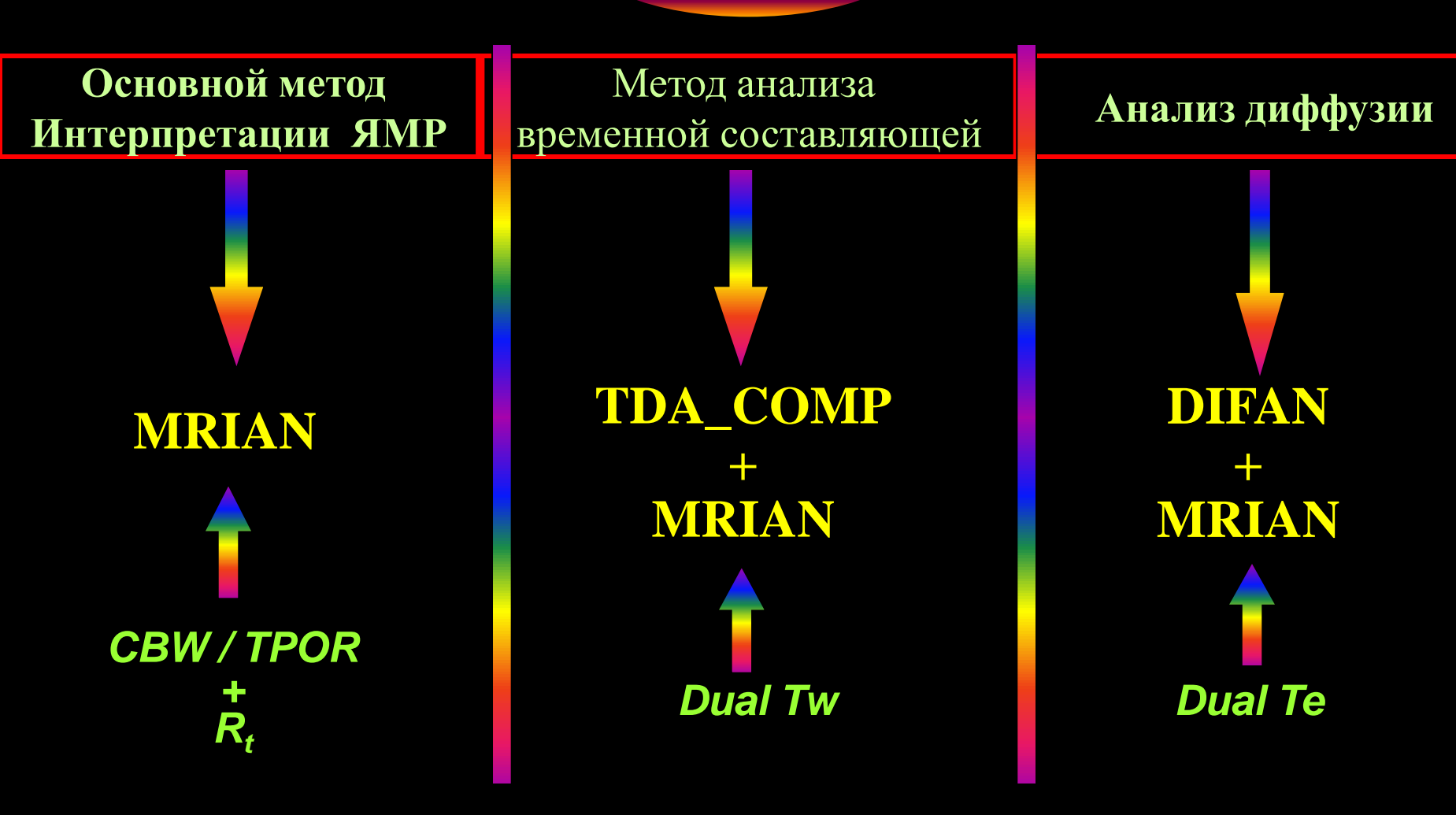
(среднее значение шума)



Каротаж ЯМР Обработка и интерпретация данных



Подготовка к работе



A Halliburton Company A P Kapomax



Обработка и интерпретация данных

MRIAN метод интепретации ЯМР



- Детерминированный модуль на основе модели двойной воды
- Использование показателей истинного сопротивления пласта для расчета водонасыщенности
- Насыщенность водой, связанной глинистой компонентой, является критической для получения окончательных результатов
- Значения общей и эффективной пористости очень важны



Каротаж ЯМР



Обработка и интерпретация данных и **MRIAN**

Based on the Dual Water Model

$$\boldsymbol{C}_{t} = (\boldsymbol{\phi}_{t} \cdot \boldsymbol{S}_{wt})^{w} \left[\boldsymbol{C}_{w} \left(1 - \frac{\boldsymbol{S}_{wb}}{\boldsymbol{S}_{wt}} \right) + \boldsymbol{C}_{cw} \left(\frac{\boldsymbol{S}_{wb}}{\boldsymbol{S}_{wt}} \right) \right]$$

Общая проводимость пласта $\{1/R_t\}$

Общая пористость { Свобод жид ϕ + капилляр связ вода ϕ + вода связ глин ϕ }

Проводимость пластовой воды $\{1/R_w\}$

Constant. 3aeucum om "n," "m," & "Sw" $\{ (n \cdot log Sw + m \cdot log \phi) / log (\phi \cdot Sw) \}$

S_{wb}: Насыщенность водой связ с глинистой компон $\{(\phi_{clay}/\phi_{total})\}$ or $(1-\phi_e/\phi_{total})\}$

S_{wt}: Общая водонасыщенность $\{S_{we} = S_{wt} - S_{wb} / 1 - S_{wb}\}$

Проводимость воды, связан глинист компонент $\{0.000216 \cdot (T_f - 16.7) \cdot (T_f + 504.4)\}$





обработка и интерпретация данных MRIAN

```
oldsymbol{C}_t: Общая проводимость пласта { 1/R_t} LLD, ILD, Rt, ...etc.
```

```
m{\phi_t} : Общ порист { свобод жидк \phi + капилляр связ вода \phi + вода связан глин \phi }

MFFI + MBVI + MCBW OR MPHI + MCBW OR MSIG
```

$$S_{wb}$$
: Насыщен водой связ с глинист компонентой $\{(\phi_{clay}/\phi_{total}) \text{ or } (1-\phi_e/\phi_{total})\}$ MCBW / MSIGD or 1 - MPHI / MSIGD

$$S_{wt}$$
: Общая водонасыщенность { $S_{we} = S_{wt} - S_{wb} / 1 - S_{wb}$ } $Swb = MCBW / \phi T$

 \mathbf{C}_{cw} : Проводимость воды связан глинист компонент { 0.000216 · (T_f - 16.7) · (T_f + 504.4)} Зависит от пластовой температуры °F



MAR Kapomax AMP



Обработка и интерпретация данных

T.D.A. MRIL Метод анализа временной составляющей

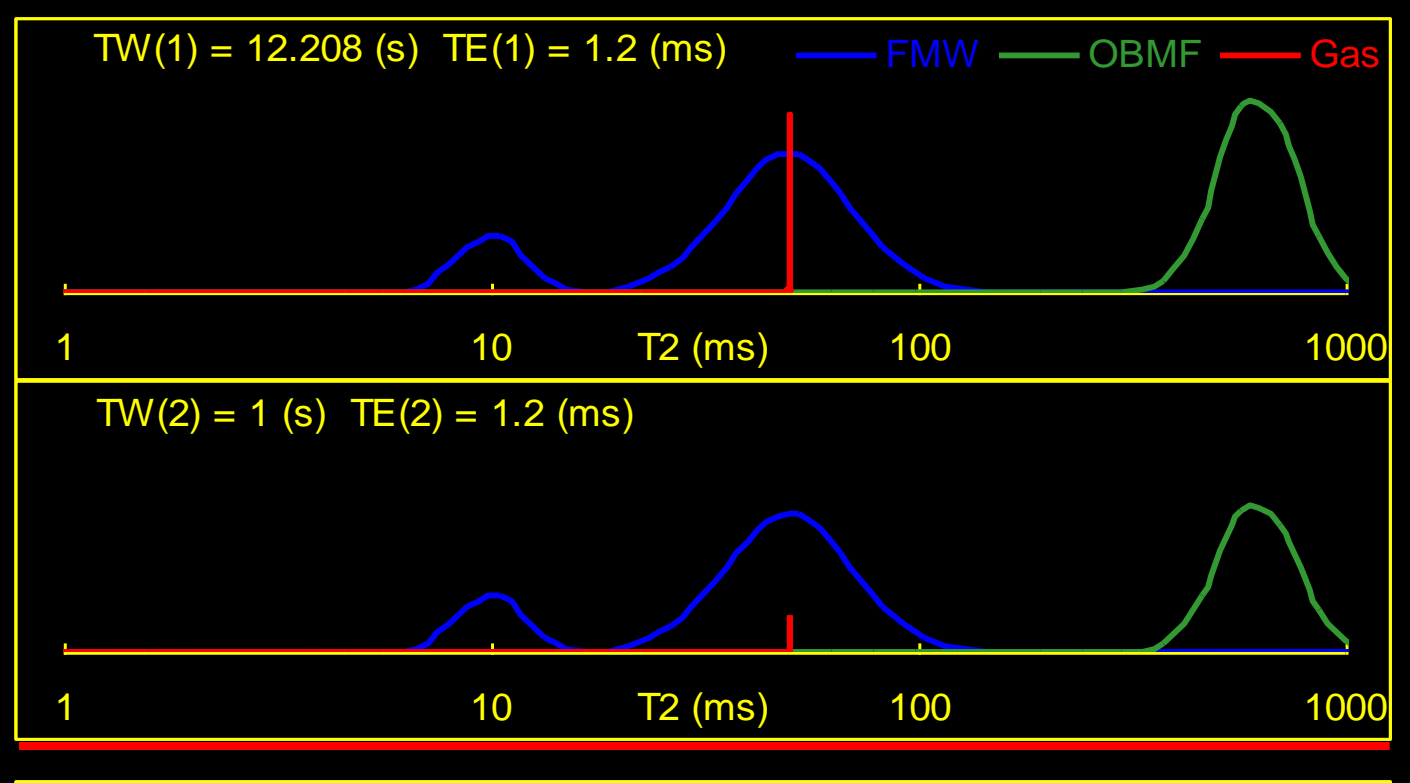


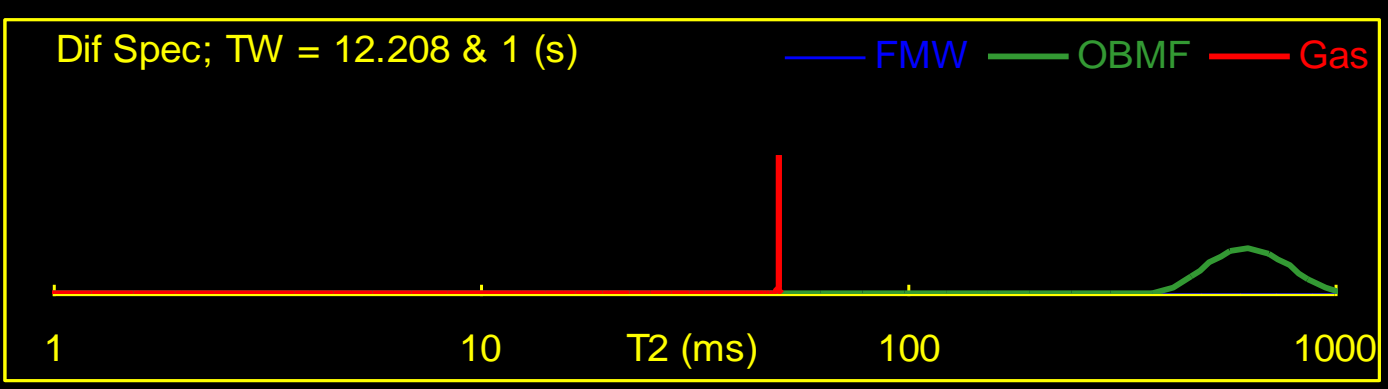


MAR FINE Oбработка и интерпретация



TDA MRIL Метод анализа временной составляющей





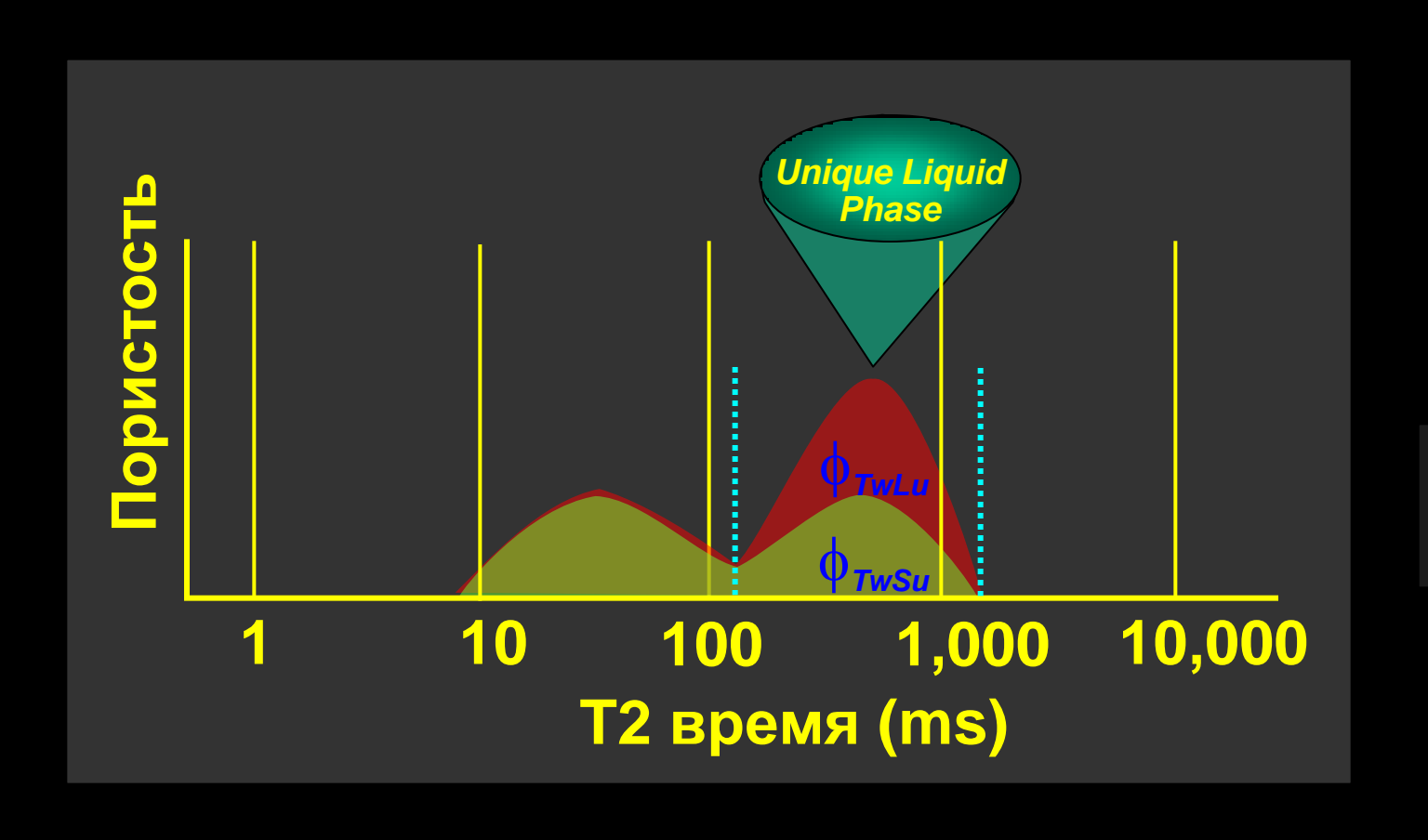


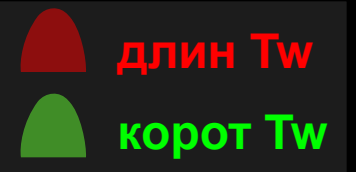


Обработка и интерпретация

T.D.A. MRIL Метод анализа временной составляющей

Корректировка пористости MRIL с учетом T1









TDA_COMP

Пористость ЯМР корректируется углеводородным коэффиц **HI** и величиной **T1**.

$$\phi_{Tw} = \phi \cdot HI \cdot (1 - e^{-Tw/T1})$$

Т1 расчет основан на

отношении
$$r = \phi_{TwLu} / \phi_{TwSu}$$

$$r = \frac{\phi \cdot HI \cdot (1 - e^{-TwL/T1})}{\phi \cdot HI \cdot (1 - e^{-TwS/T1})}$$

$$= \frac{1 - e^{-TwL/T1}}{1 - e^{-TwS/T1}}$$

Ф : Истин углеводор пористость

 ϕ_{Tw} : Измеренная углеводород порист

Tw : Время ожидания

HI : Углеводородный индекс

 $\phi_{\mathsf{TwL}_{u}}$: Пористость в результате

определенной фазы флюида

TwL : длительное время ожидания

Tws : короткое время ожидания





TDA_COMP

ф_{ааѕ} определяется с учетом НІ_{ааѕ} и Т1_{ааѕ}

$$\phi_g = \frac{\phi_g^*}{Hl_g \cdot \Delta \alpha_g}$$

ф_{оіі} определяется с учетом НІ_{оіі} и Т1_{оіі}

$$\phi_o = \frac{\phi_o^*}{H I_o \cdot \Delta \alpha_o}$$

$$\Delta \alpha_{h} = e^{-TwS/T1_{h}} - e^{-TwL/T1_{h}}$$

: пористость по газу

: Кажущ порист по газу

через разницу эхо

 HI_{q}

: Углеводород индекс газа

: Порист по нефти

 $HI_{\mathbf{0}}$

: Кажущ порист по неф через разницу эхо

: Углеводород индекс

по нефти

T1_h : Т1 по газу или нефти





TDA_COMP

Порист-ть по полност поляризован жидк при длин Тw

$$Phi_{FPL} = MPHIA - \left[\phi_g \cdot HI_g \cdot (1 - e^{-TwL/T1_g}) + \phi_o \cdot HI_o \cdot (1 - e^{-TwL/T1_o}) + \phi_o \cdot HI_w \cdot (1 - e^{-TwL/T1_w}) \right]$$

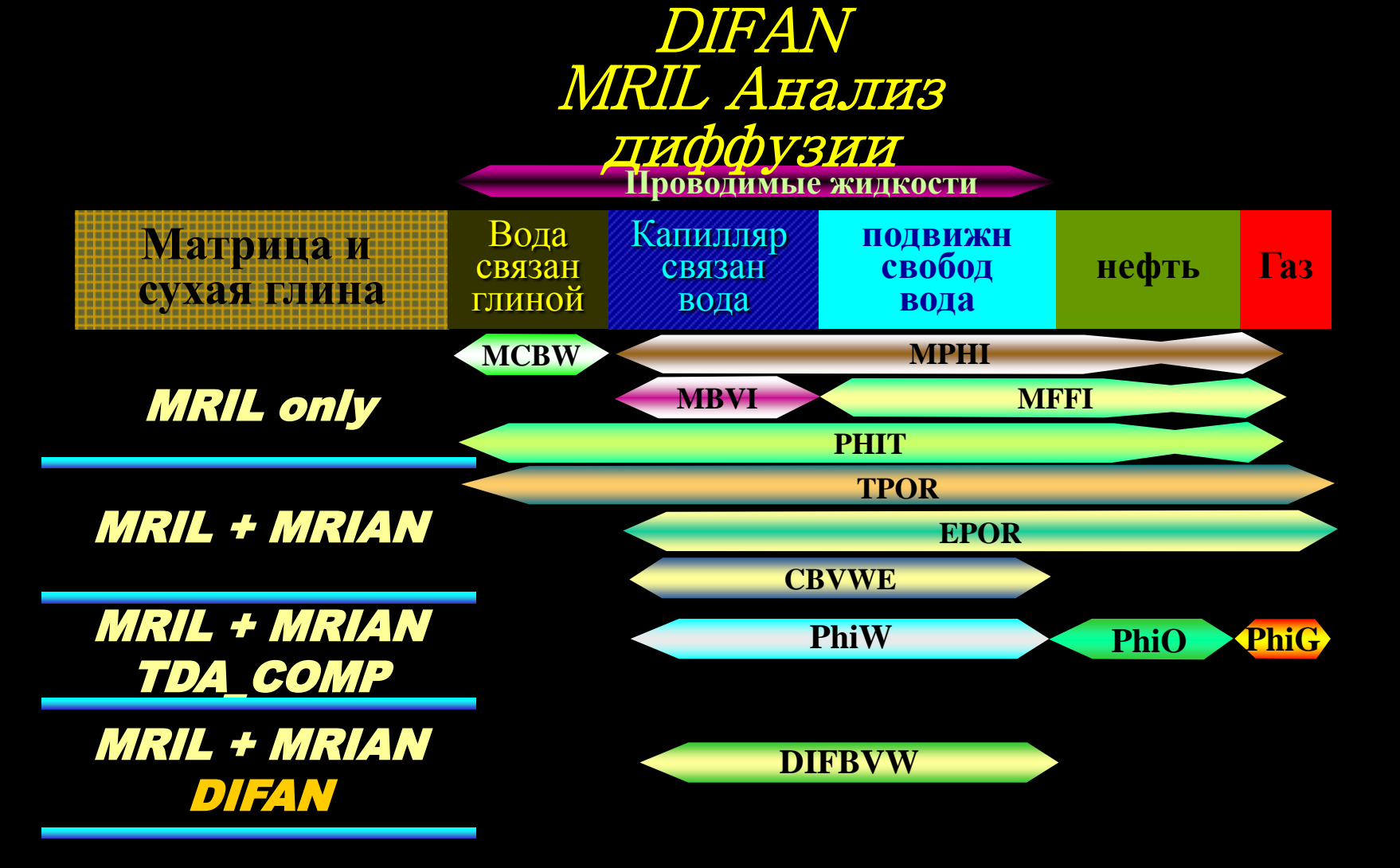
Пористость с учетом T1 и HI

$$TDAMPhi = Phi_{FPL} + \phi_g + \phi_o + \phi_w$$





Обработка и интерпретация







DIFAN MRIL анализ диффузии

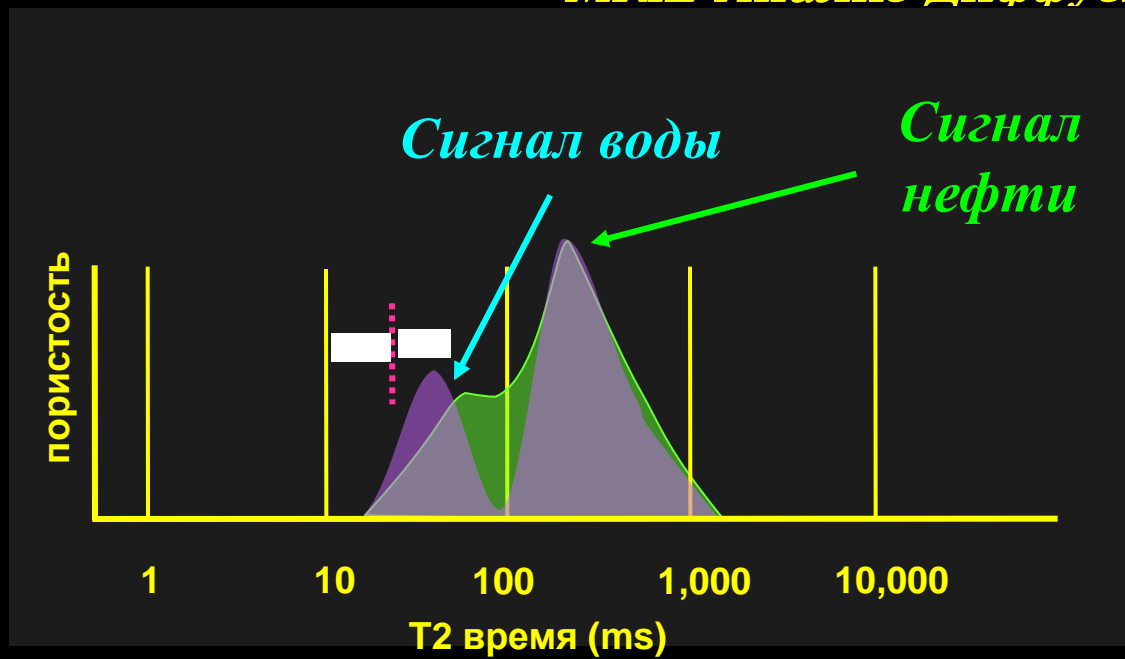
- Данные ЯМР полученные с использованием двойного Te
- Решает задачу для нефти в изучаемых пропластках
- Не решает задачу для ОЧЕНЬ тяжелых нефтей



Processing & Interpretation



DIFAN MRIL Анализ диффузии



длит Те корот Те

- Сдвиг данных спектра следствие диффузии
- Среднегеометрическое по коротк и длин спектру расчитывается как функция области под кривой, помогает определить размер сдвига в результате диффузии



VUMAR A Halliburton Company A P Kapomax



Обработка и интерпретация данных DIFAN

На основе свойств термальной диффузии флюидов в поровом пространстве

$$\frac{1}{T_2} = \frac{1}{T_{2Bulk}} + \frac{1}{T_{2Surf}} + \frac{1}{T_{2Diff}}$$

$$\frac{1}{T_{2Surf}} = \rho \cdot (S/V) \dots$$
 без влияния диффузии $S = \text{поверхность}$ $V = \text{объем}$

$$T_{2Diff} = \frac{12}{D \cdot (G \cdot \gamma \cdot Te)^2}$$

D : Коэффициент диффузии жидкости (см²/сек)

Зависит от темп. (К) и вязкости

G : Градиент магнитного поля (Гаусс/см) температуры от частоты прибора и

: Гиромагнитное соотношение (Hz/Гаусс) = 4258 для водорода

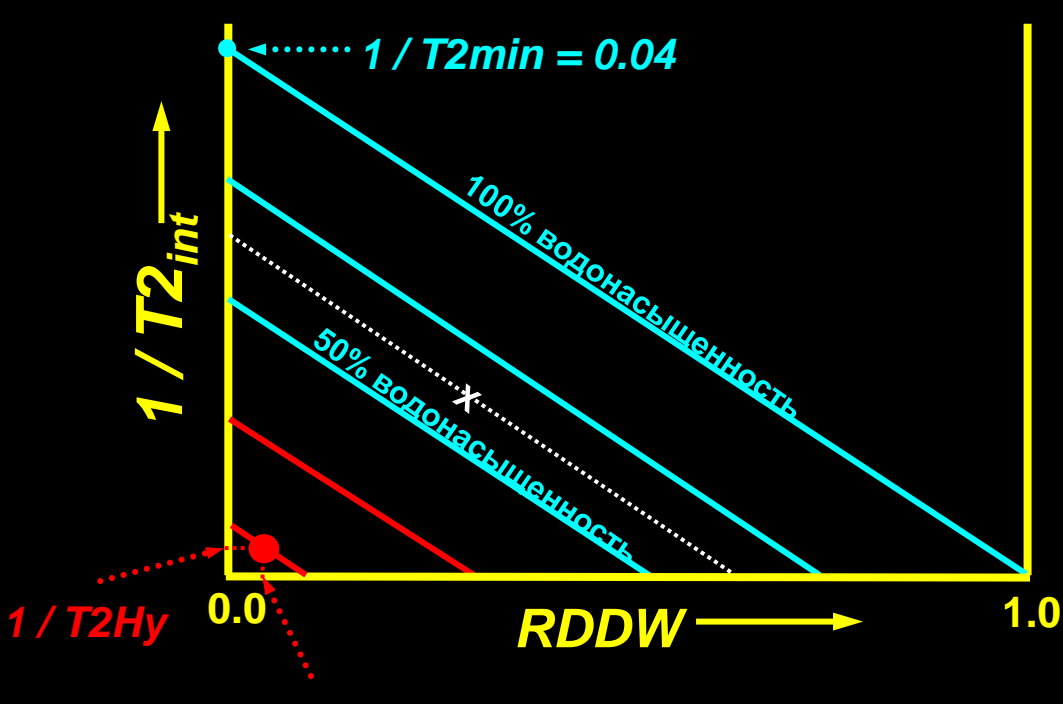
To . Prove ways are arrivation (acr.)





На основе свойств термальной диффузии флюидов в поровом пространстве

$$RDDW = \frac{D}{DW}$$



D : диффузия пласт флюида

DW : диффузия воды при t⁰ и давлении пластов флюида

= 12.5 при t^0 и давлении на поверхн

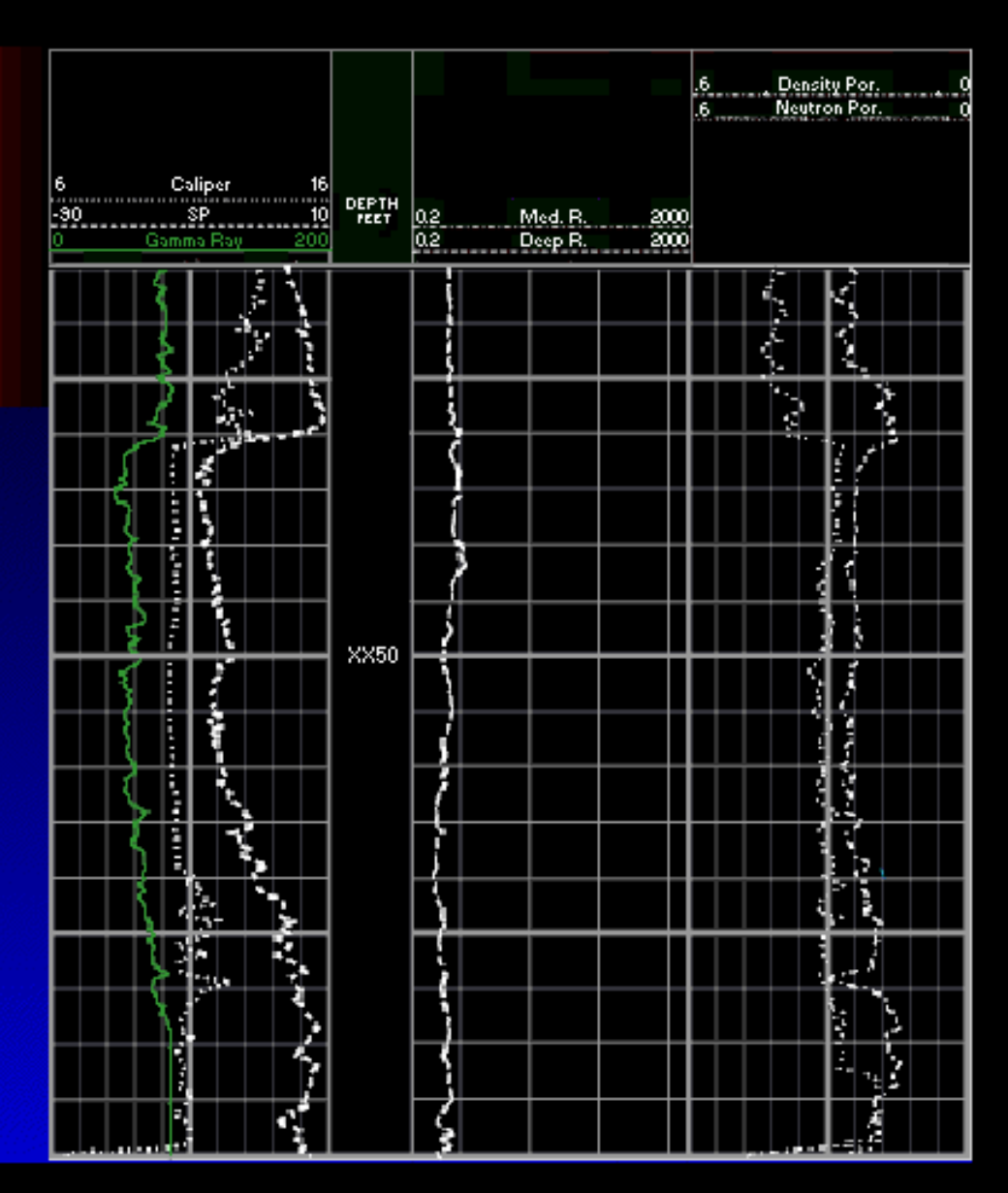
T2min: нижный возможный предел истинного T2 = 25 msec

RDDwHy

Conventional Log

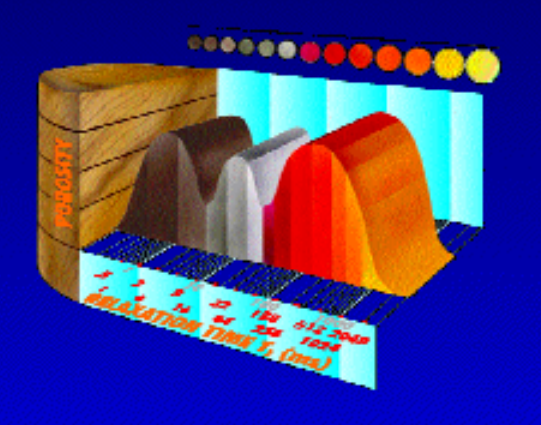
Completion Cost: \$1.2 MM

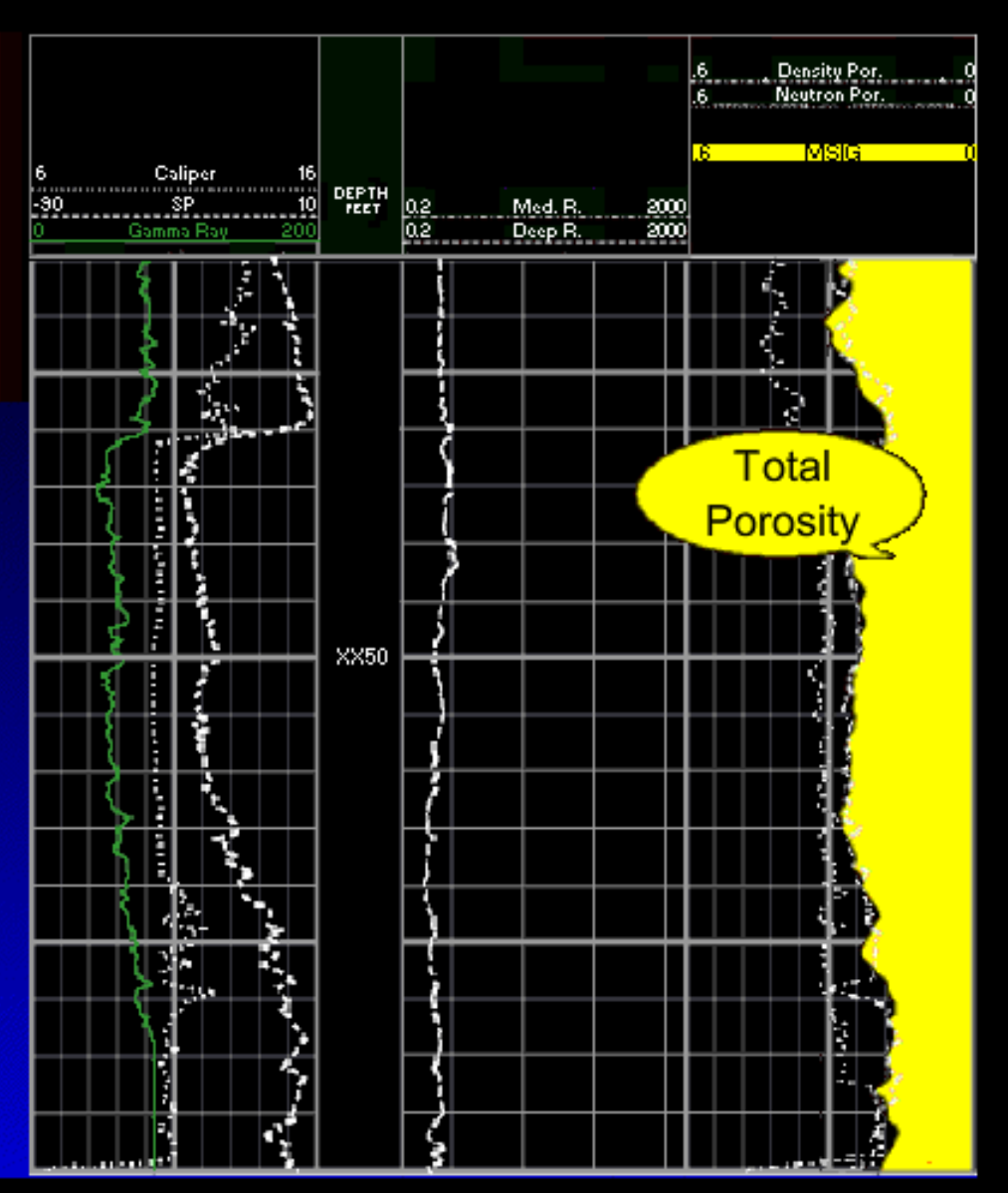
Customer Decision: Get additional data.



Conventional Log With MSIG

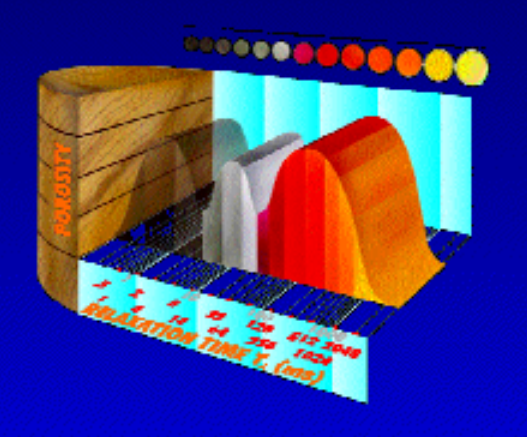
Total Porosity: The non-solids percentage of the rock bulk volume.

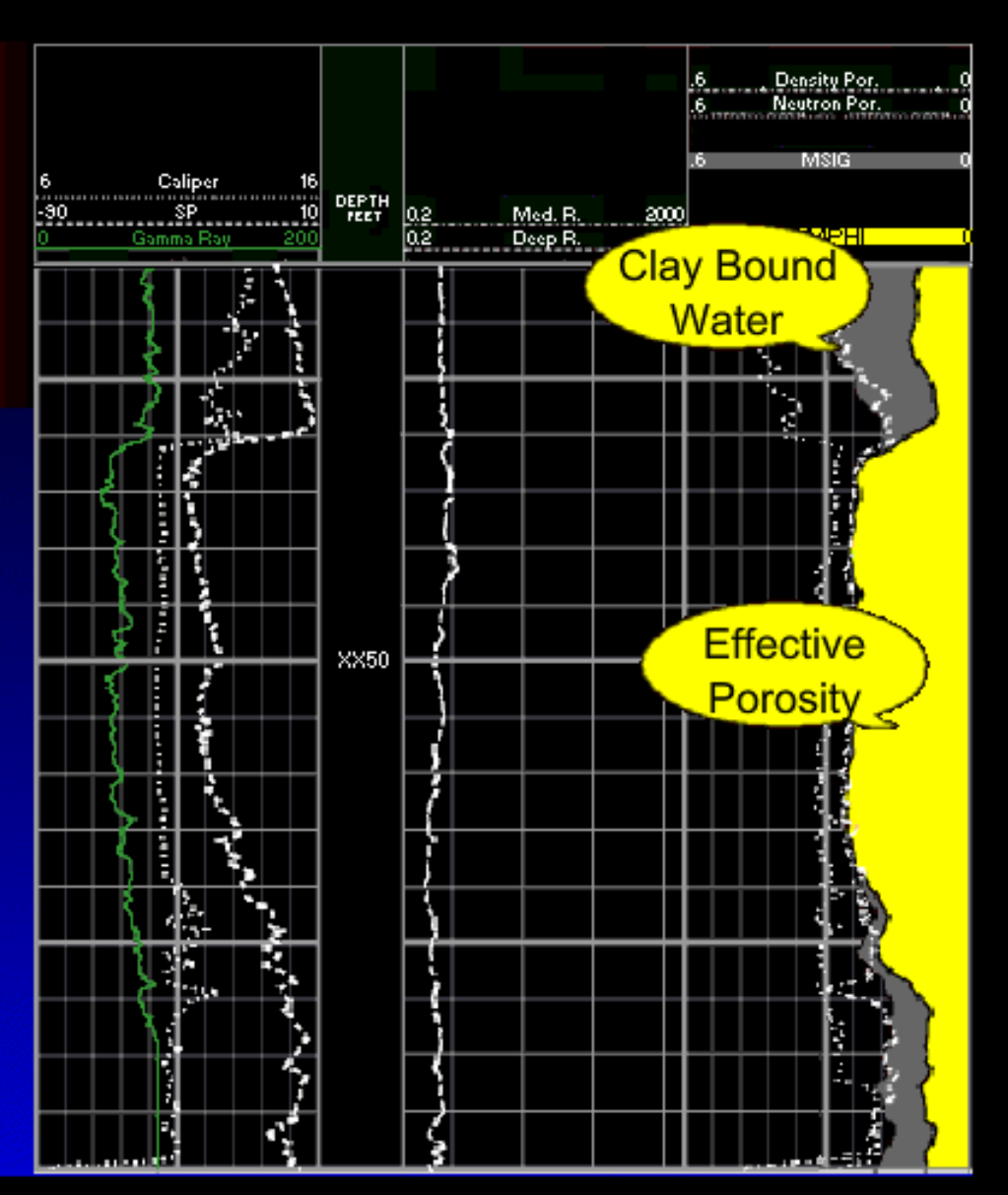




Conventional Log With MPHI

Effective Porosity:
The Total Porosity
less the porosity filled
with clay mineral
bound water.

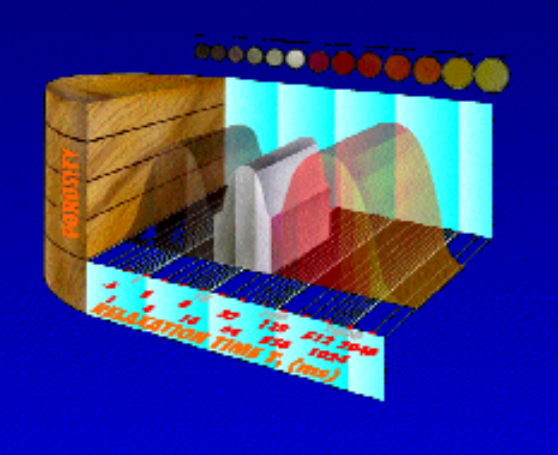


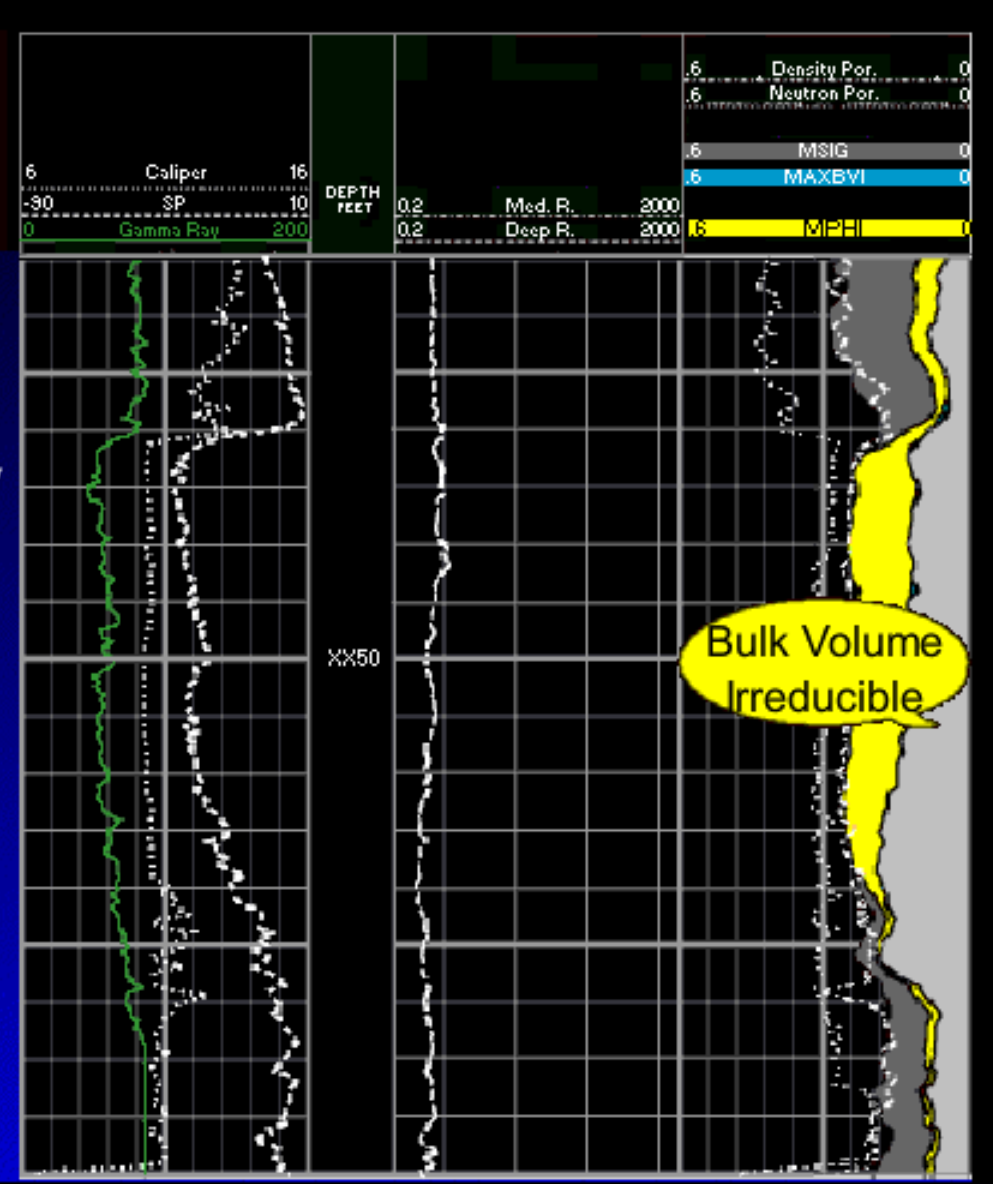


MPHI & BVI

Bulk Volume Irreducible:

Rock bulk volume percentage occupied by normally non-producible water due to capillarity.

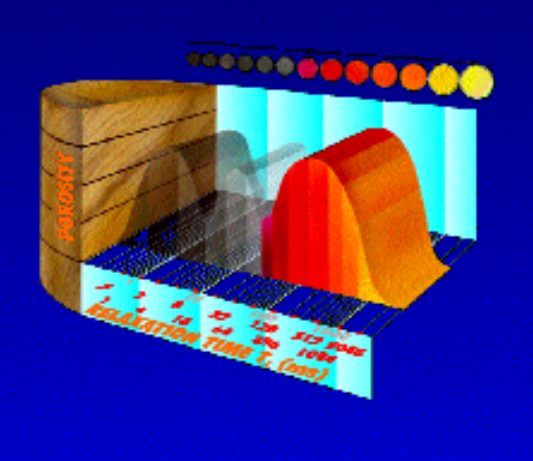


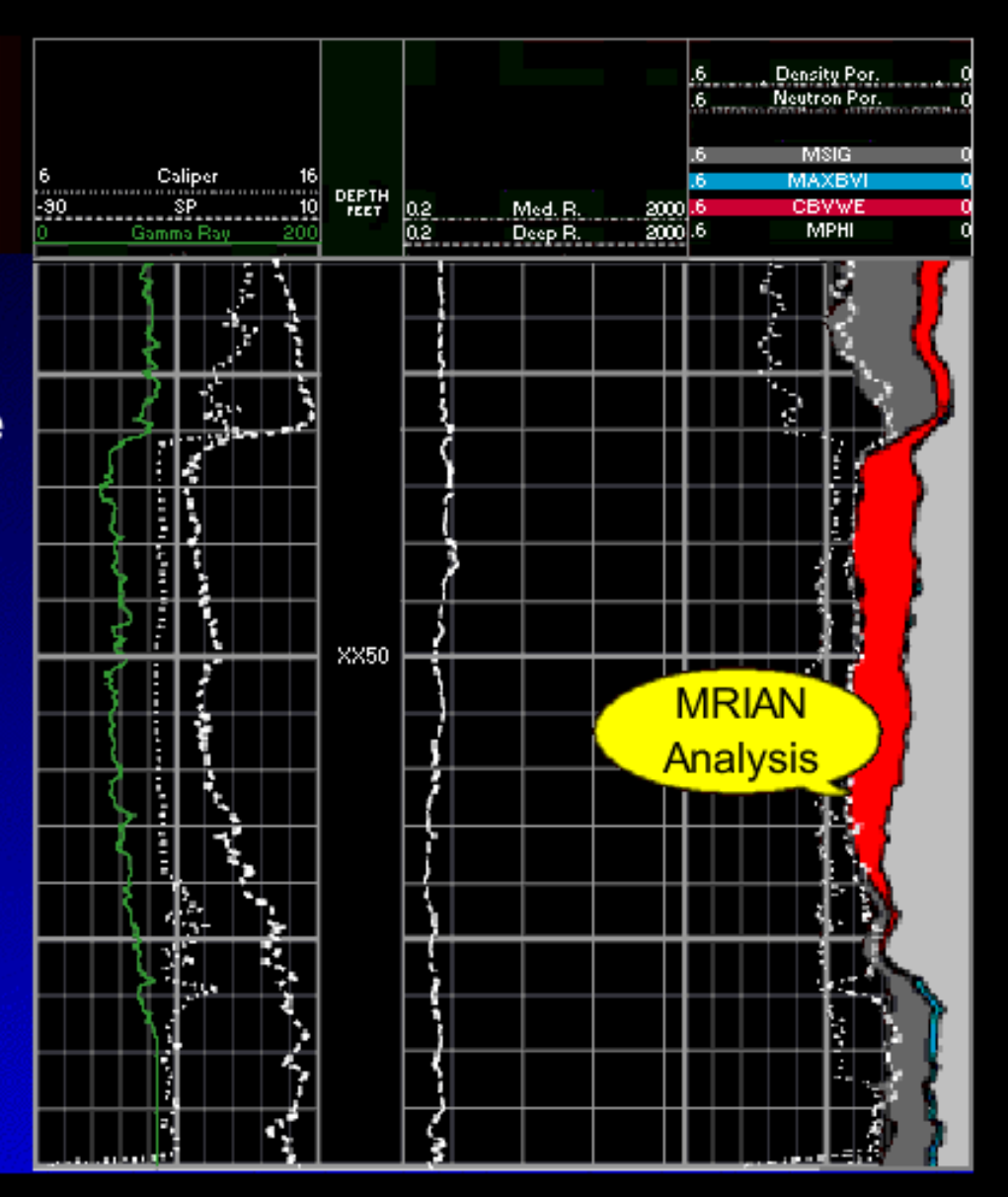


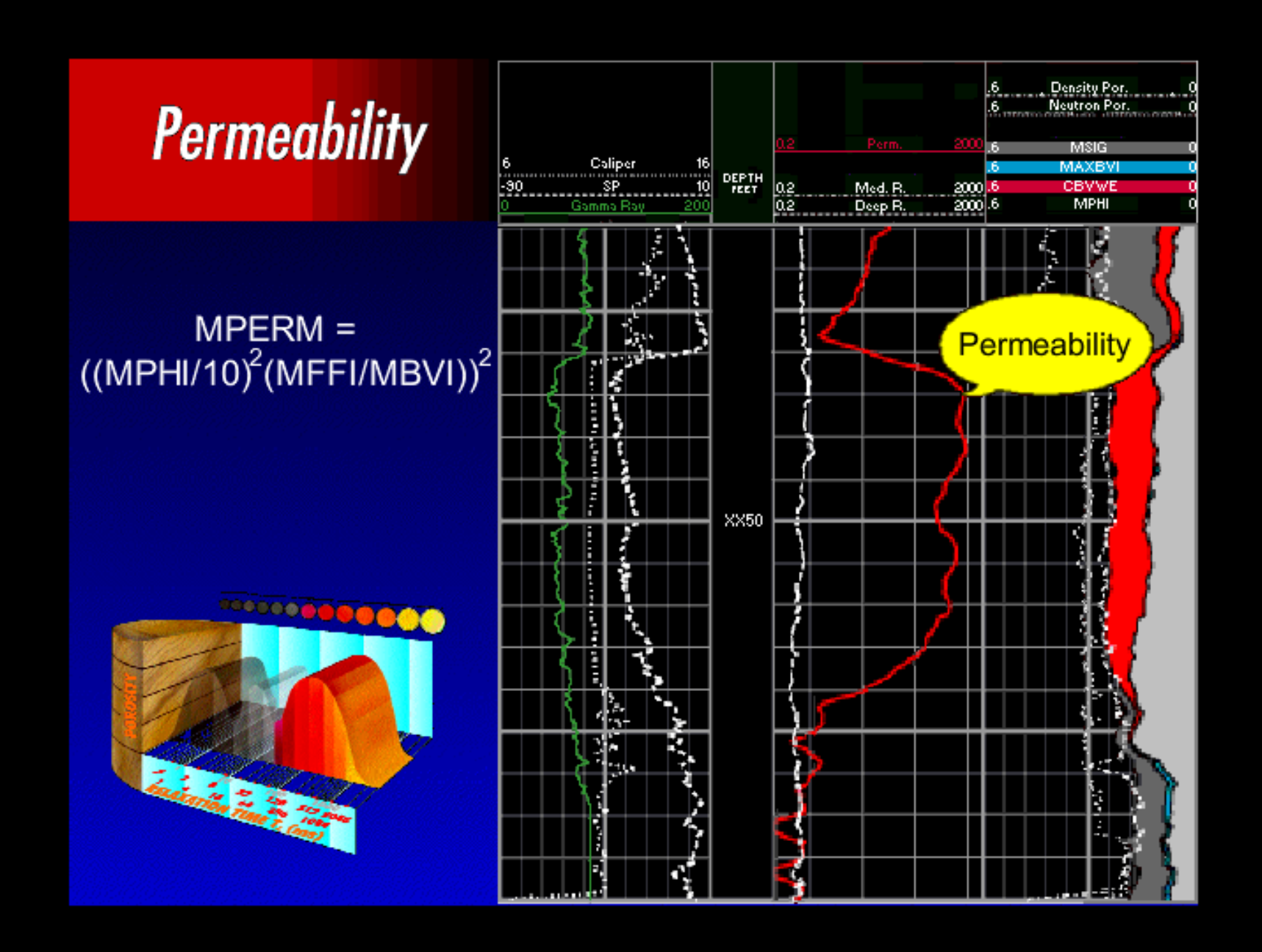
CBVWE

MRIAN Analysis:

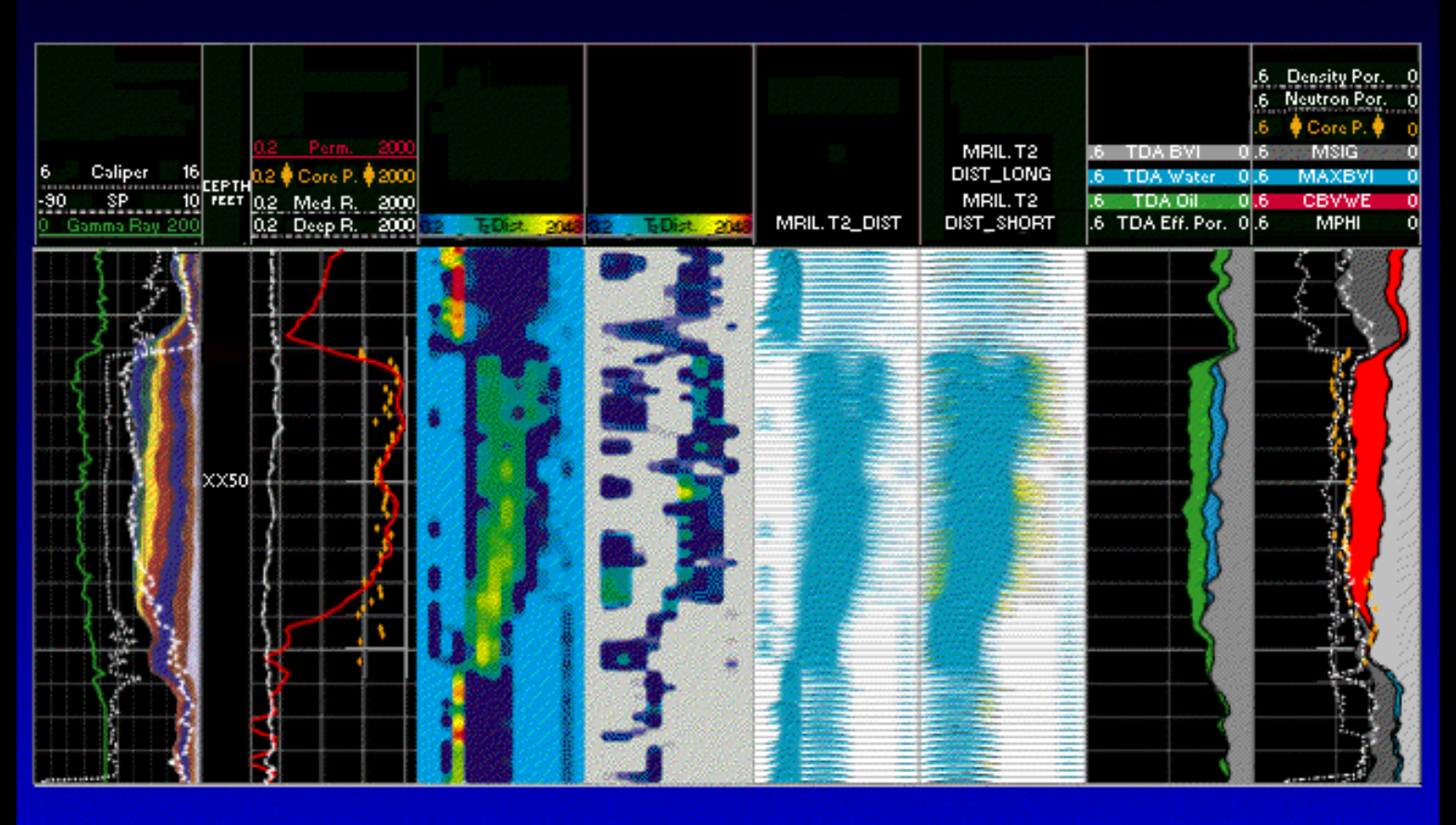
Calculates Bulk Volume Water associated with effective porosity.







Core Analysis Comparison



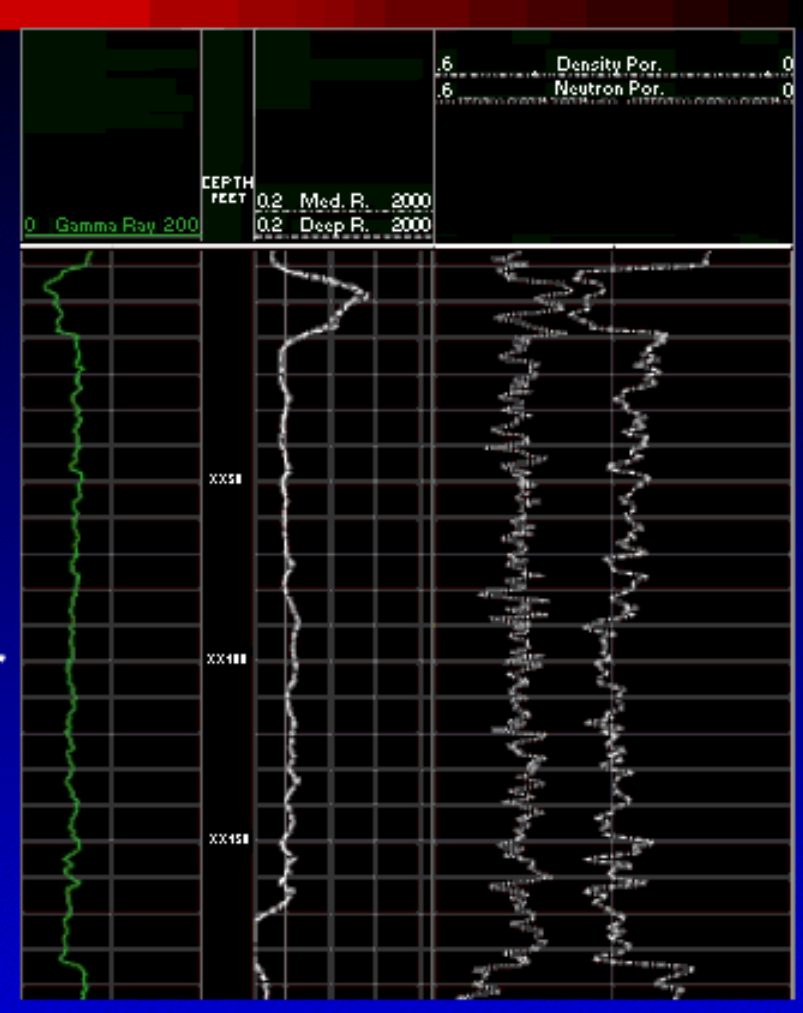
Распределение бинов – размер пор/качество породы/свойства флюида

Increase Reserve Estimates Using C/TP

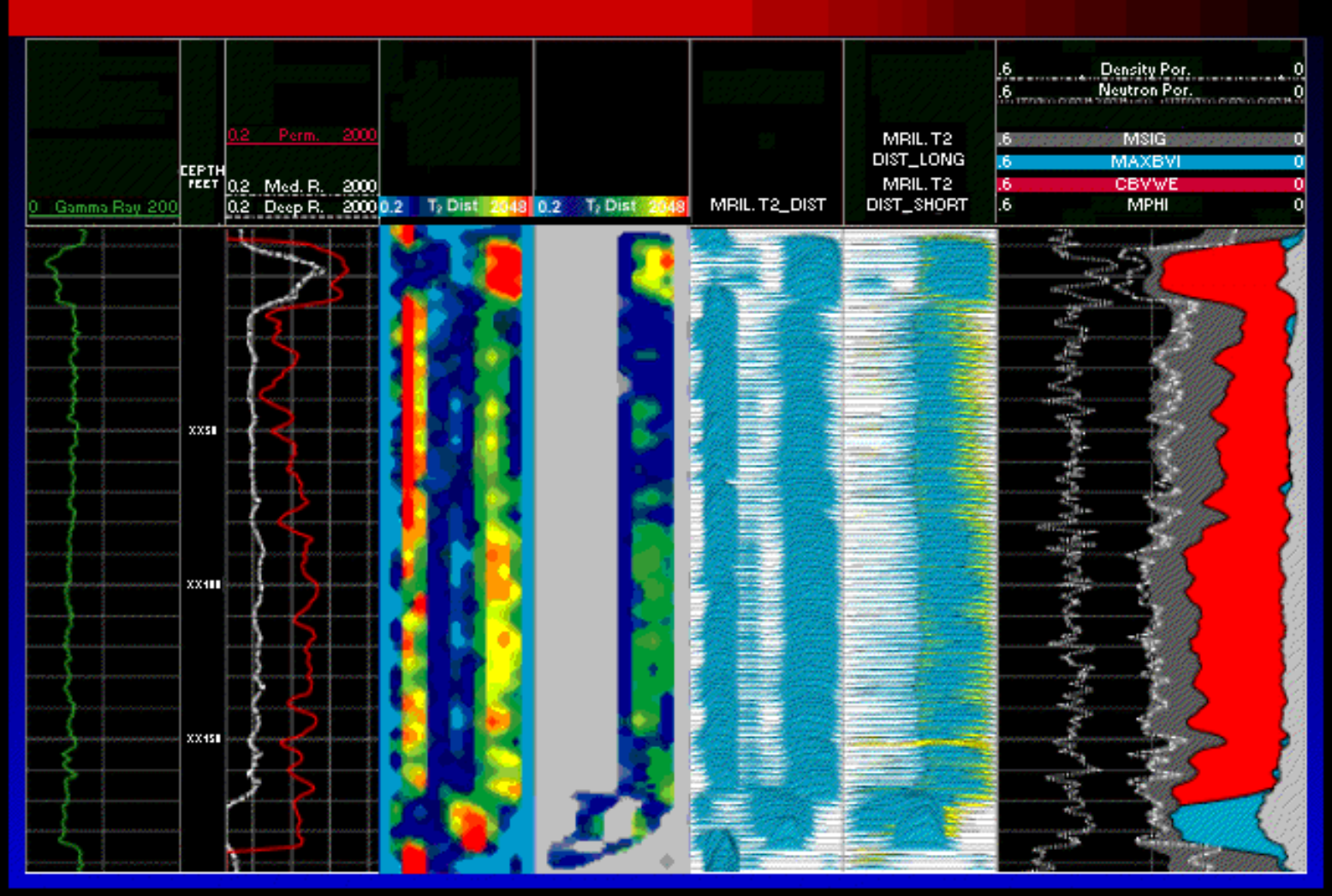
Conventional

Problem:

- Quantifying reserves (Net:Gross)
- Gas/Oil contact ??
- Low resistivity and/or low contrast pay



MRIL





Можно ли принять решение на основании стандартного

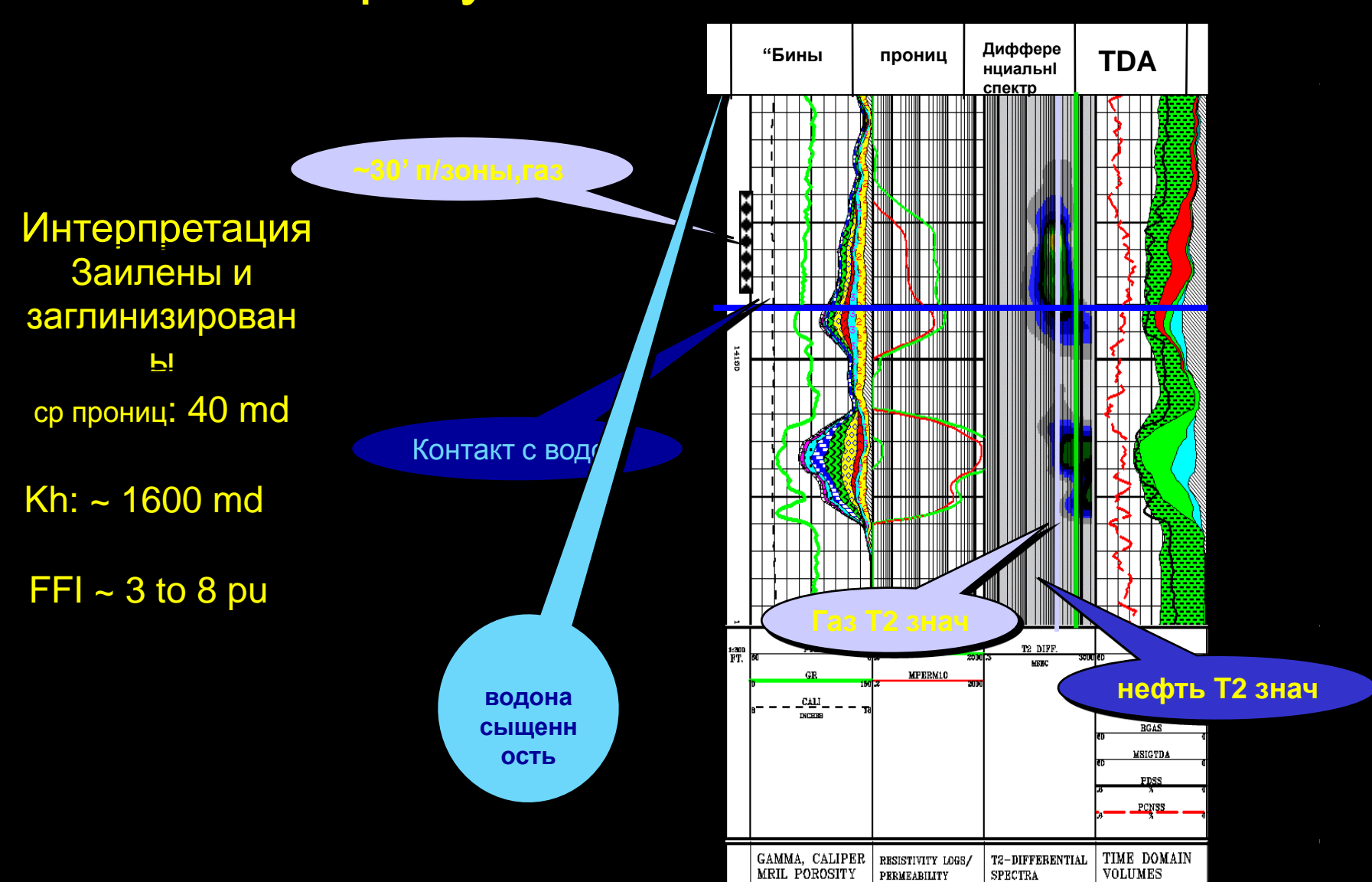






Можно ли принять решение по результатам ЯМР?



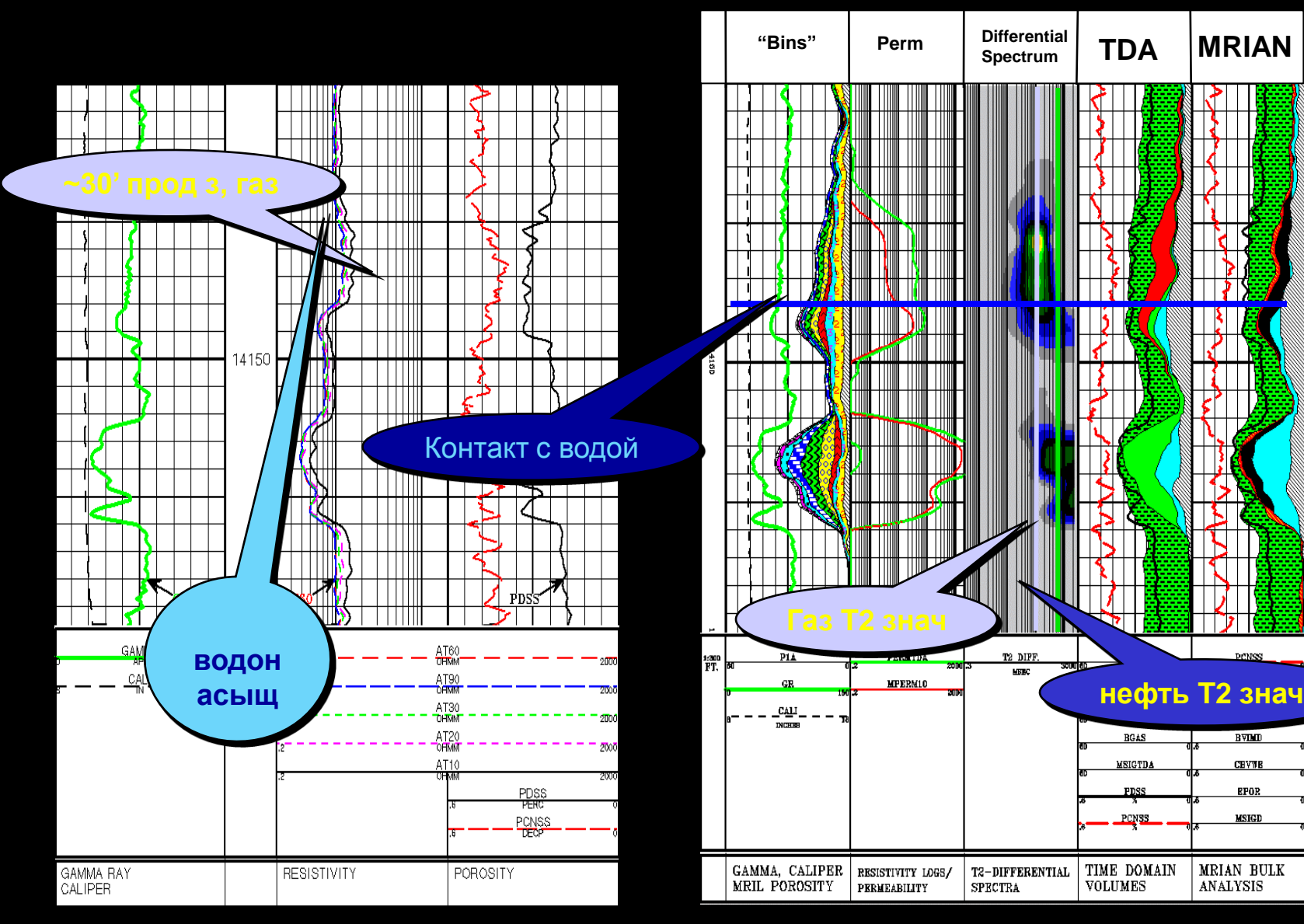


MRIL Prime



Интеграция MRIL и 3C: MRIAN





стандарт каротаж

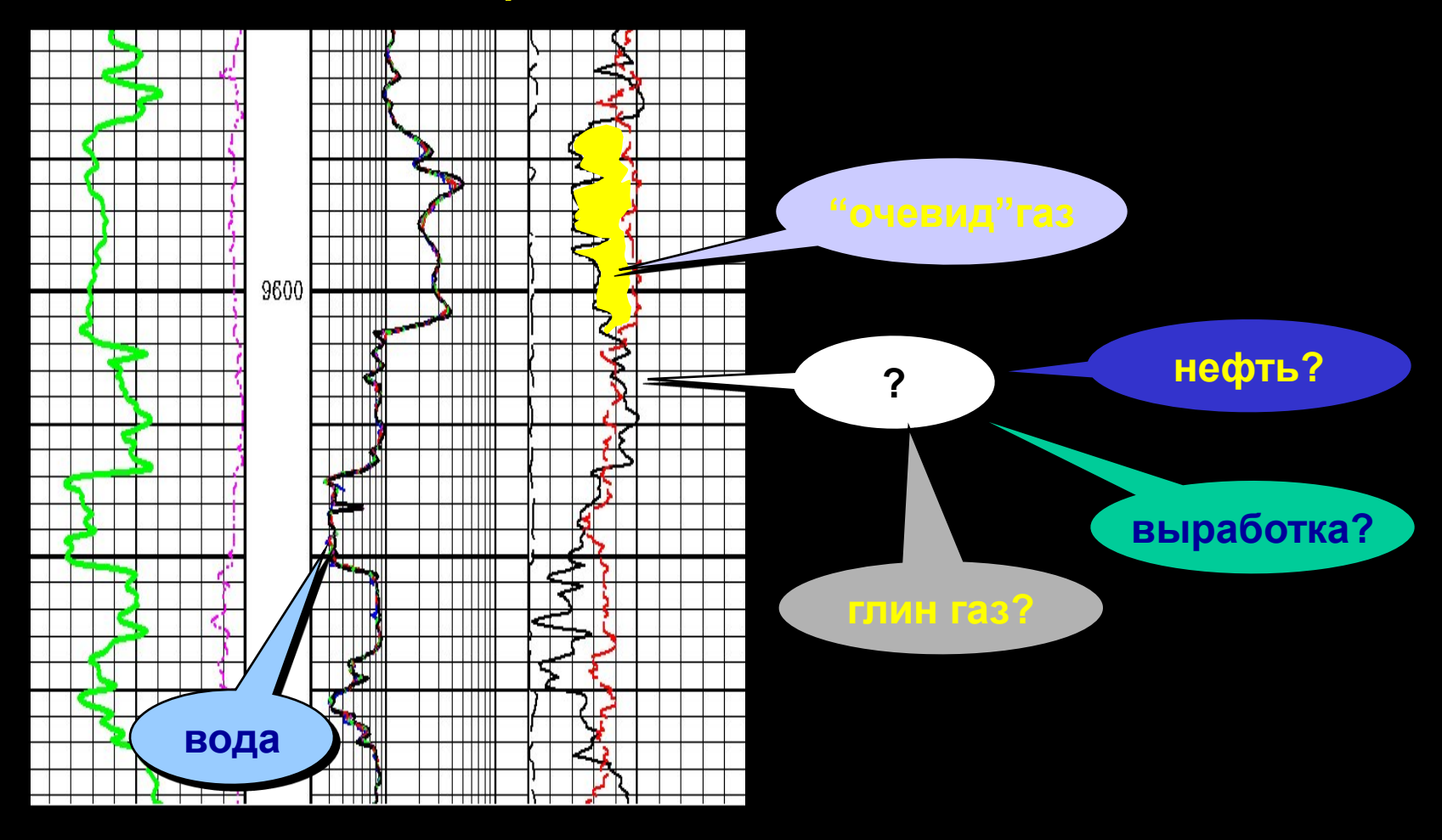
MRIL Prime VDL presentation



Интерпретация по результатам LWD



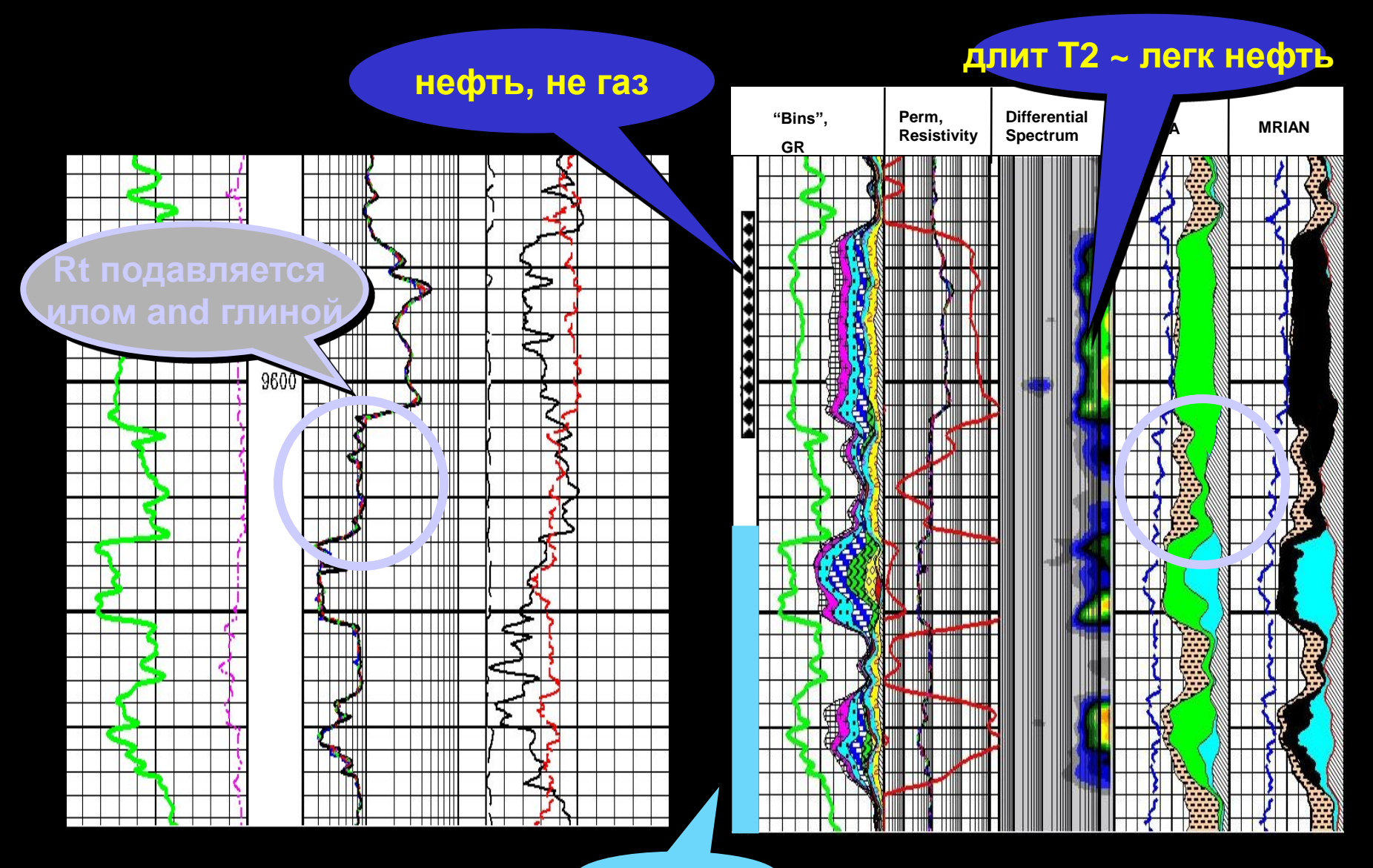
triple-combo?



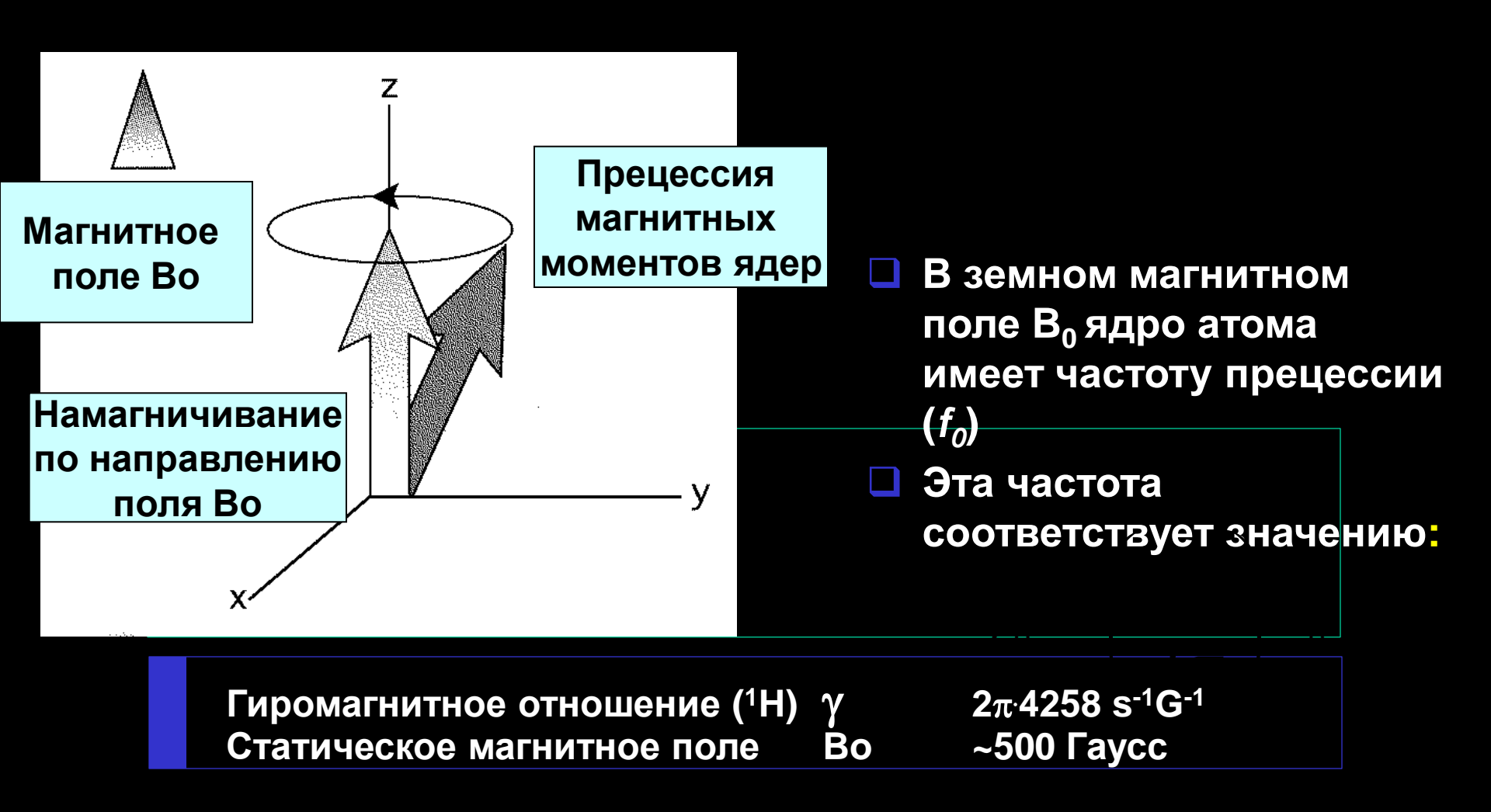


Integrate MRIL & 3C: MRIAN



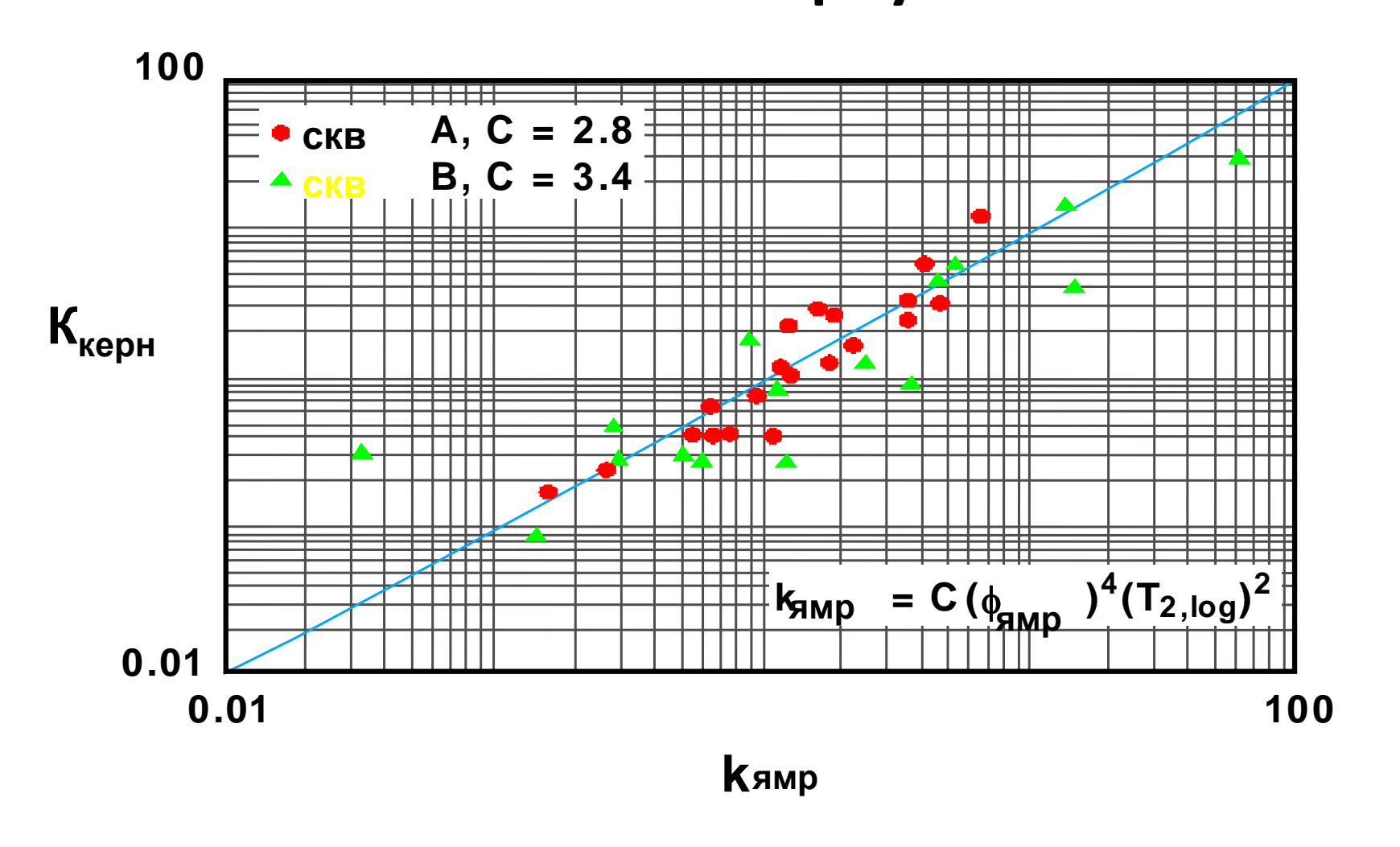


Физический принцип ядерномагнитного резонанса

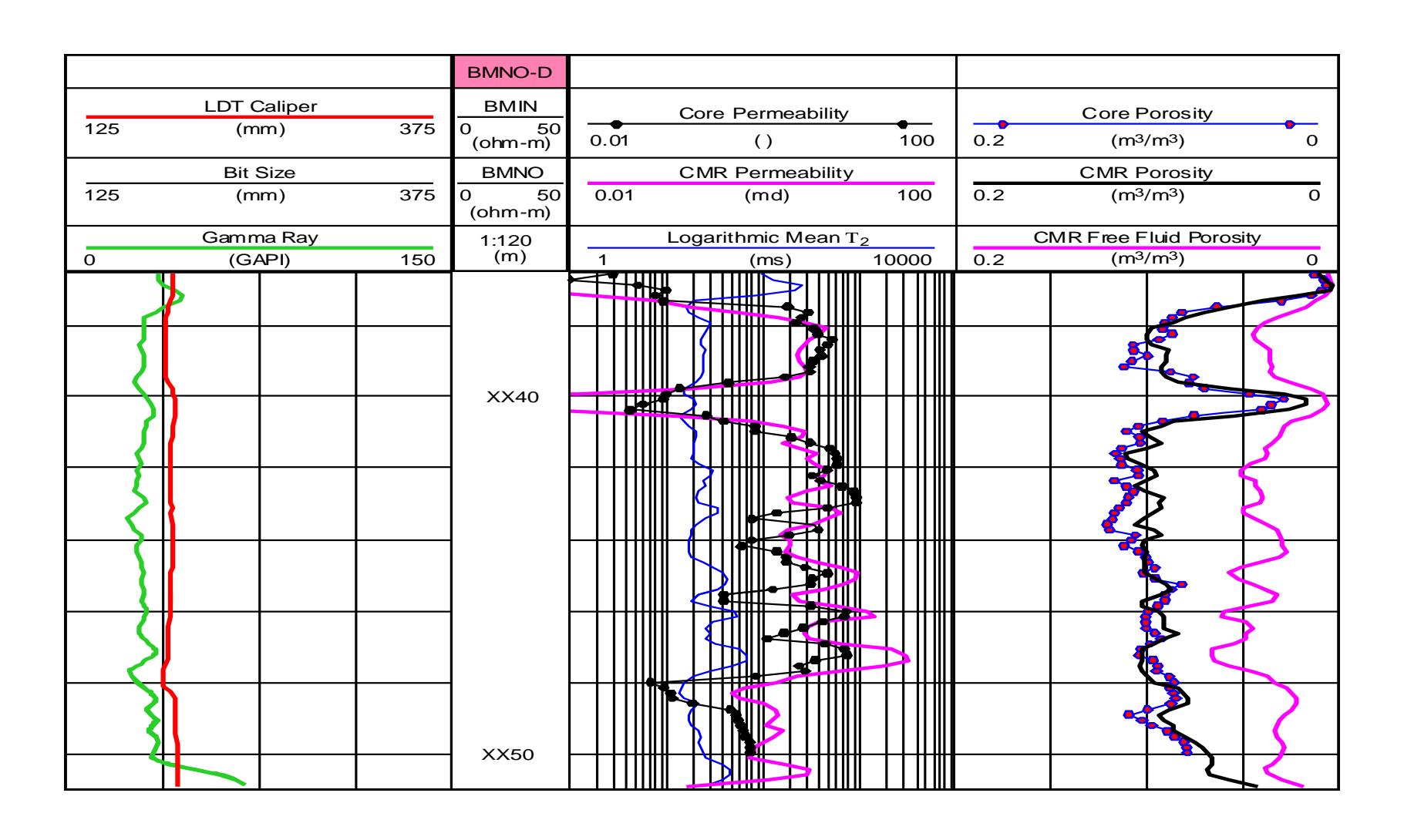


Наилучшим образом взаимодействуют с магнитным полем протонсодержащие жидкости – углеводороды, пластовые воды

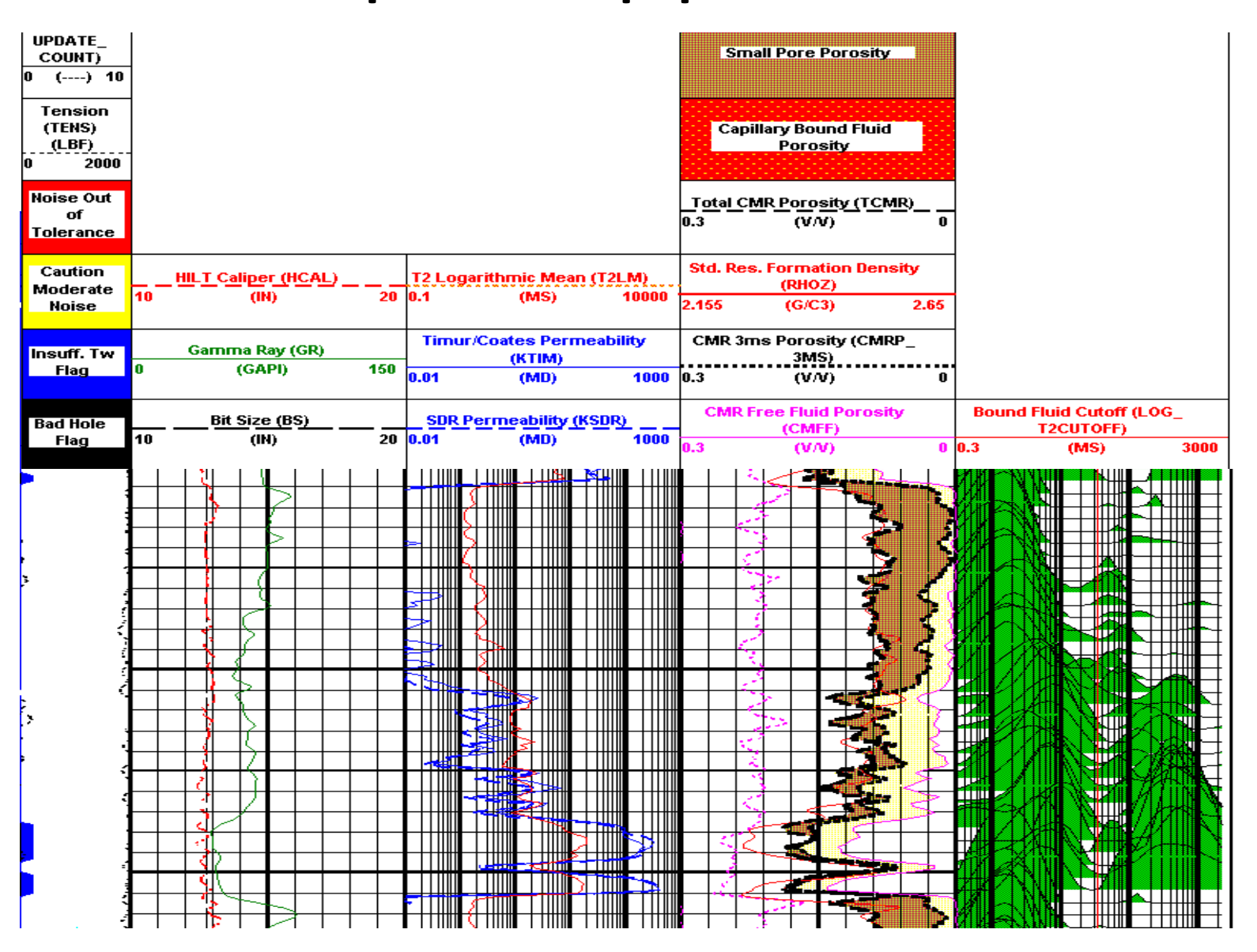
Проницаемость по ЯМР – проницаемость по керну

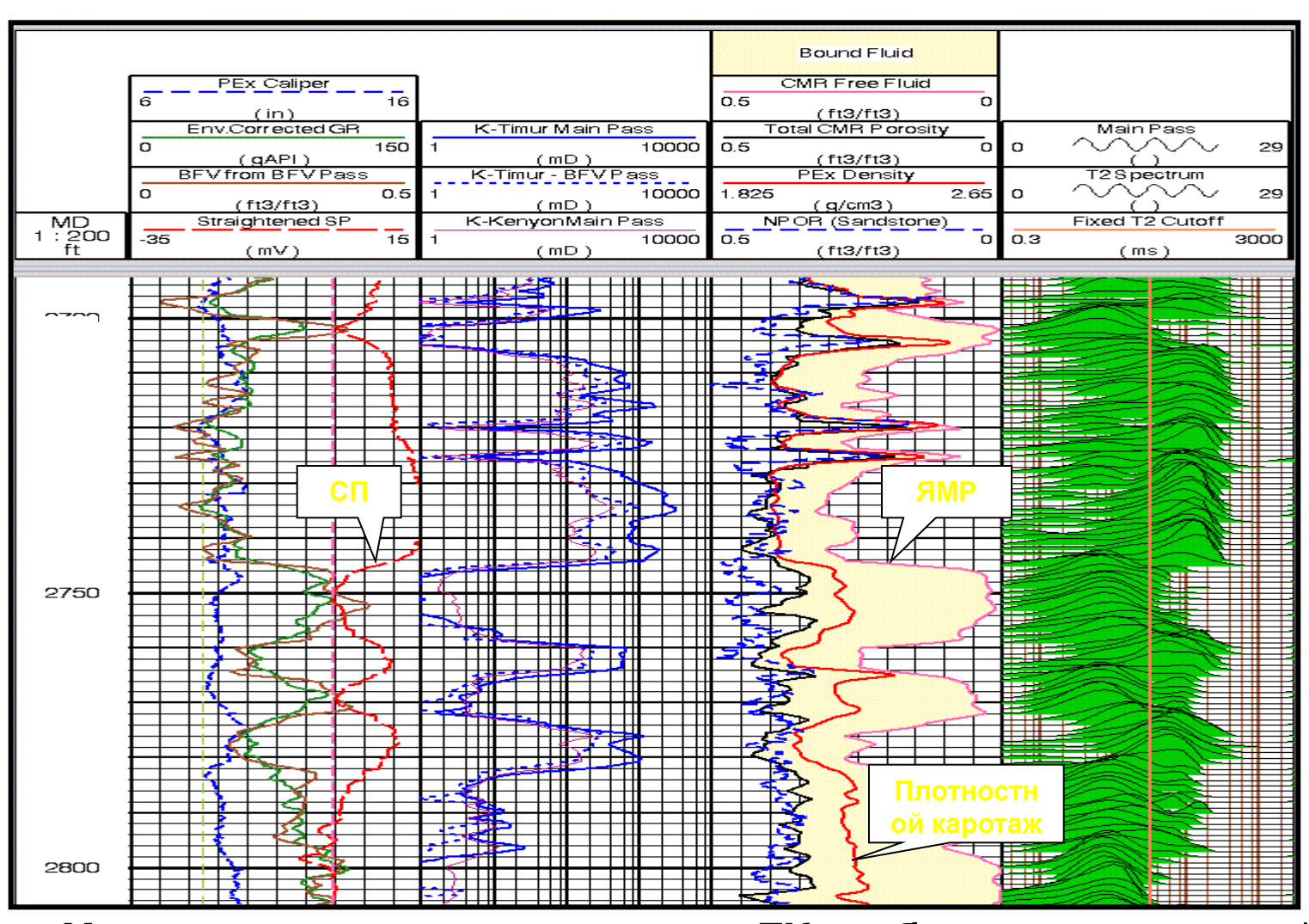


Сопоставление пористости и проницаемости полученных по ЯМР с керном

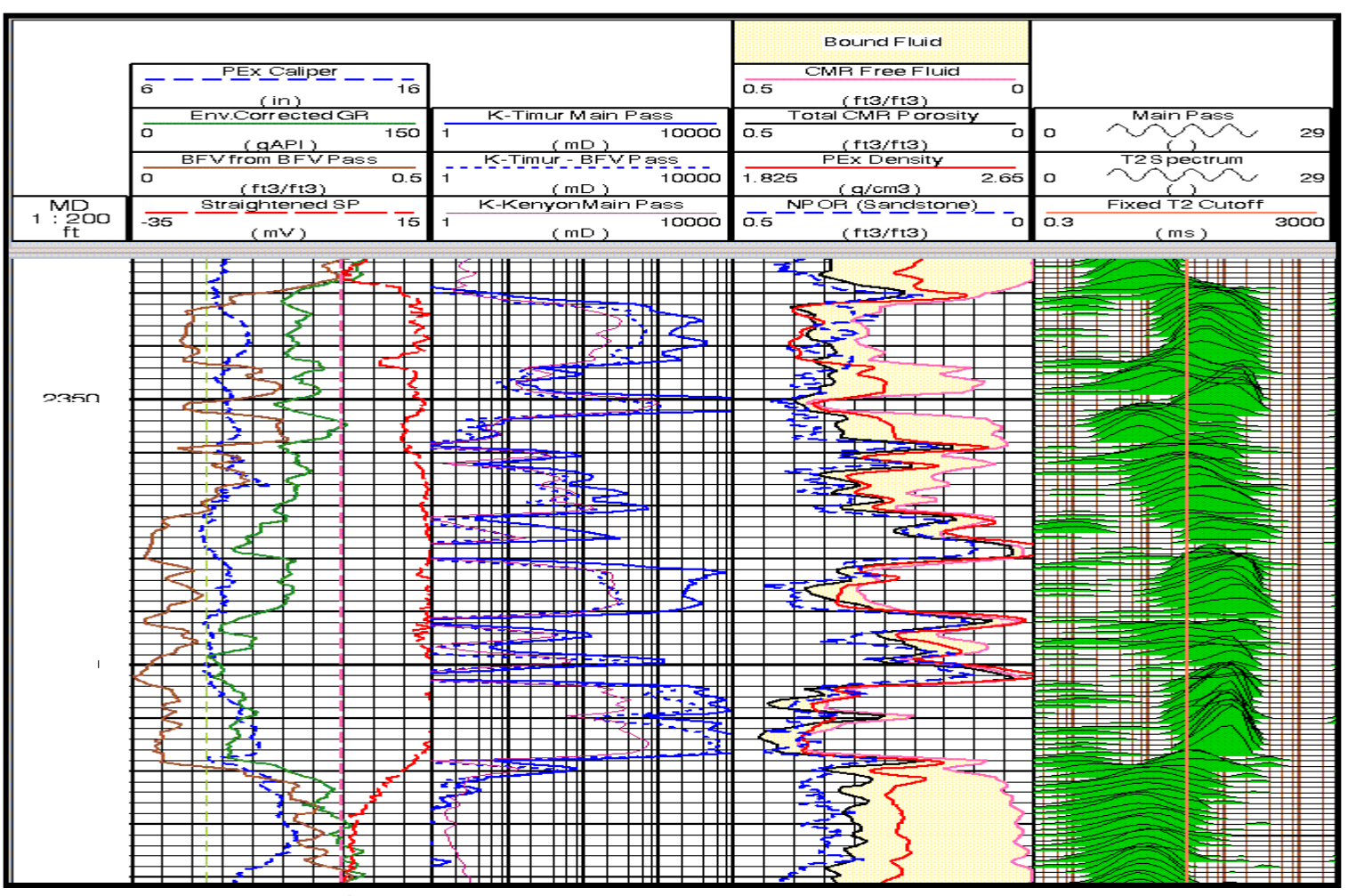


Изображение форм волн ЯМР





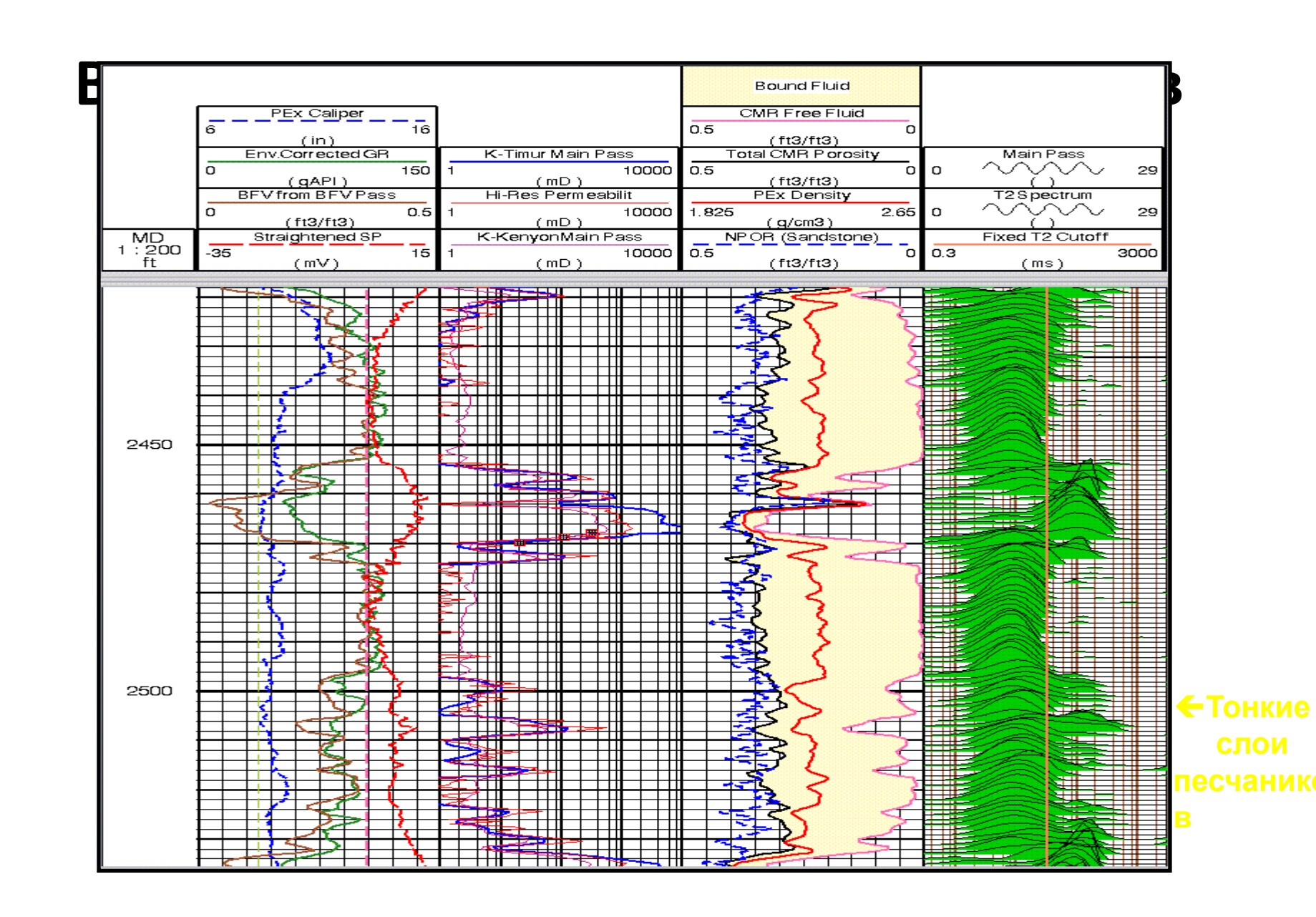
Хорошее соответствие между ГК и объемом связанной жидкости (BFV), также видны аномалии СП



По данным ГК песчаники не выделяются, данные ЯМР согласуются с результатами СП

Выделение тонких песчаных пластов

- ❖ Прибор ЯМР имеет диаметр 6 дюймов
- ❖ В условиях скважины может быть достигнута разрешающая способность по вертикали 8 дюймов
- (6 дюймов прибор+ временная константа)
- Стандартные приборы каротажа плотностной, нейтронный имеют разрешающую способность по вертикали порядка 18 дюймов, в глубину – 3 диаметра прибора.
- В тонких переслаивающихся песчаниках (<6 дюймов) по данным ЯМР сигналы от свободной и связанной воды не разделяются, пока пласт не достигнет мощности 18 дюймов.</p>
- Две фракции в песчанике выделяются как бимодальное распределение данных ЯМР.



Применение ЯМР:

- Наблюдение Т2 является способом изучения явления ЯМР.
- Пористость, определенная методом ЯМР в лабораторных условиях хорошо совпадает с пористостью, определенной по керну гидростатическим методом
- Разделение продуктивной части пласта от непродуктивной основано на выделении порогового времени, которое зависит от минералогии
- ЯМР может использоваться для оценки проницаемости флюидов в песчанике. Результаты для карбонатных пород не настолько хороши, из-за влияния пустот в породе.